



لَبِكَ اللَّهُمَّ لَبِكَ
لَبِكَ الْعَزِيزُ لَبِكَ
لَبِكَ الْكَرِيمُ لَبِكَ



چکیده مقالات

دومین همایش ملی انجمن ایرانی ژئومورفولوژی (ژئومورفولوژی و پایش تغییرات محیطی)

به کوشش:

دکتر مجتبی یمانی - سعید نگهبان

اسفندماه ۱۳۹۲

محورهای همایش

- » تغییرات آنتروپوزنیک محیطی
- » حفاظت میراث های زمین شناختی در حال تغییر
- » پایش در ژئومورفولوژی شهری
- » پایش تغییرات مورفولوژیکی مناطق جنگی
- » ژئومورفولوژی در پایش تغییرات لندفرمی
- » دیدگاههای نظری در پایش تغییرات ژئومورفولوژیکی
- » شیوه ها و ابزارهای پایش محیطی
- » پایش مخاطرات زمینی
- » اکوژئومورفولوژی
- » نقش عملیات های میدانی در پایش های ژئومورفولوژی
- » تغییرات اقلیمی کواترنری و تحولات ژئومورفولوژی
- » تغییرات ژئومورفولوژی و مدیریت سواحل

دبیر کمیته علمی: دکتر سیاوش شایان

اعضای کمیته علمی

- دکتر وحید محمدنژاد(دانشگاه ارومیه)
- دکتر عادل سپهر(دانشگاه فردوسی مشهد)
- دکتر ایرج جباری(دانشگاه کرمانشاه)
- دکتر معصومه رجبی(دانشگاه تبریز)
- دکتر ابوالقاسم گورابی(دانشگاه تهران)
- دکتر شهرام بهرامی(دانشگاه سبزوار)
- دکتر محمدمهردی حسین زاده(دانشگاه شهید بهشتی)
- دکتر عبدالله سیف(دانشگاه اصفهان)
- دکتر رضا حسین زاده (دانشگاه مشهد)
- دکتر مهناز جهادی طرقی(دانشگاه پیام نور)
- دکتر منیژه قهرومدی(دانشگاه شهید بهشتی)
- دکتر فرج اله محمودی(دانشگاه تهران)
- فاضل ایرانمنش(وزارت جهاد کشاورزی)
- دکتر عقیل مددی(دانشگاه اربیل)
- دکتر عادل سپهر(دانشگاه مشهد)
- دکتر امجد ملکی(دانشگاه کرمانشاه)
- دکتر مریم جابری (شهرداری تهران)
- دکتر رضا اسماعیلی (دانشگاه مازندران)
- دکتر جمشید جباری عیوضی(دانشگاه تهران)
- دکتر مهران مقصودی (دانشگاه تهران)
- دکتر عزت الله قنواتی(دانشگاه خوارزمی)
- دکتر محمدحسین رامشت(دانشگاه اصفهان)
- دکتر شهرام روستائی(دانشگاه تبریز)
- دکتر محمدحسین رضائی مقدم (دانشگاه تبریز)
- دکتر احمد نوحه گر(دانشگاه هرمزگان)
- دکتر داریوش مهرشاهی (دانشگاه یزد)
- دکتر منصور جعفری بیگلو(دانشگاه تهران)
- دکتر محمد جعفر زمردیان (دانشگاه مشهد)
- دکتر محمدرضا ثروتی(دانشگاه شهید بهشتی)
- دکتر محمود علائی طالقانی(دانشگاه کرمانشاه)
- دکتر عبدالامیر کرم(دانشگاه خوارزمی)
- دکتر سعید خضری (دانشگاه کردستان)
- دکتر ابراهیم مقیمی(دانشگاه تهران)
- دکتر رضا خوش رفتار(دانشگاه زنجان)
- دکتر حسین نگارش(دانشگاه سیستان و بلوچستان)
- دکتر صدرالدین متولی(دانشگاه آزاد- واحد نور)

کمیته اجرائی همایش

دبیر کمیته اجرائی: ابوطالب محمدی

اعضای کمیته اجرائی

- مریم رحمتی
- مجتبی رحیمی
- فائزه آفریده
- محمدعلی نظام محله
- عبدالحسین حاجیزاده
- زکیه محمدی
- شیلا حجه فروش
- محمدمهری کاظمی
- انور مرادی
- موسی عباسی
- حسین جوان
- مهدی احمدی
- قباد رستمی زاد
- کوشکار
- اکبر مهرجو
- هدیه دهستانی
- دکتر امیر صفاری
- دکتر طبیبه کیانی
- سعید نگهبان
- سجاد باقری سیدشکری
- زهرا خانیابائی
- اسماعیل نجفی
- غلامرضا زارع
- معصومه بنی صفار
- سعید رحیمی هرآبادی
- مجتبی هدایی آرانی
- عبدالکریم ویسی
- محسن بزرکار
- حمید عمونیا
- صدیقه محبوبی
- زهرا داداش زاده
- الهه حاج کریمی
- امیررضا قوامی

طراحی جلد: دکتر وحید محمدنژاد

با سمه تعالی

برگزاری دومین همایش انجمن ایرانی ژئومورفولوژی فرصتی دیگر است تا زمینه‌ای را فراهم آورد که اندیشمندان این رشته را گرد هم آورده و موجب تبادل افکار، انتقال ایده‌ها، نقدها و بالاخره ایجاد ارتباط نزدیک‌تری بین ایشان شود. سمت و سوی کاربردی شدن رشته‌ها، درجه نیازمندی جامعه به مهارت‌های فارغ‌التحصیلان، درجه توانایی ایشان مستند به انجام طرح‌های ملی و منطقه‌ای، فراوانی دانش آموختگان و افزایش پذیرش‌ها به ویژه در مقاطع تحصیلات تکمیلی بدون در نظر گرفتن نیازها و نظایر آن موضوعاتی هستند که نیازمند همفکری و تبادل نظر می‌باشد. از سویی دیگر چالش‌های محیطی مرتبط با موضوع ژئومورفولوژی به عنوان اولین و مهم‌ترین عامل در زمینه‌های مکان‌گزینی و کاربری‌ها موضوع دیگری است که این هم اندیشی را پر رنگ‌تر می‌کند. گرد هم آوردن علاقه‌مندان و متخصصین رشته ژئومورفولوژی، در قالب تشکیل انجمن ایرانی ژئومورفولوژی گامی اساسی در دست یابی به این اهداف بوده است. انجمن ایرانی ژئومورفولوژی تشكیل نوپاست و طی سه سال گذشته تلاش نموده است با برگزاری نشست‌ها، سخنرانی‌ها، میزگردها و کارگاه‌های متعدد رسالت خویش را در دستیابی به این اهداف مهم تحقق بخشد. در این زمینه با انتشار نشریه تخصصی و علمی پژوهشی انجمن تحت عنوان پژوهش‌های ژئومورفولوژی کمی، ایجاد سایت اینترنتی تخصصی و سایر فعالیت‌های مندرج در این دو وسیله ارتباط جمعی توانسته است تا حدی نسبت به انکاس اهداف مورد اشاره تلاش نماید که در اینجا از تلاش کلیه همکاران عزیزی که وقت گران‌بهای خود را در این زمینه صرف کرده‌اند قدردانی می‌کند.

برگزاری این همایش سه هدف اصلی را پوشش می‌دهد. یکی معرفی رشته ژئومورفولوژی در سطح مجتمع علمی و اجرایی کشور و زمینه‌های علمی آن، دوم ایجاد ارتباط بین دانش آموختگان و متخصصین این رشته در سطح ملی و بین‌المللی است و سوم مشارکت دادن همه در انتقال اطلاعات و دست‌یابی به زمینه‌های مشترک فعالیت‌های علمی است. یکی از دغدغه‌های اصلی هیات مدیره انجمن، موضوع عدم تمرکز فعالیت‌ها بوده است و همواره تلاش نموده است از طریق ارتباطات سازمانی و بین دانشگاهی عرصه این فعالیت‌ها را به سایر دانشگاه‌ها و مجتمع علمی توسعه دهد. هر چند در این زمینه چندان موفق نبوده است لیکن با مشارکت دانشجویان دوره‌های تحصیلات تکمیلی سایر دانشگاه‌ها توانسته است با ایجاد درگاه‌های ویژه در وبگاه انجمن زمینه بهتری برای این مشارکت‌ها فراهم نماید. امید است در آینده نزدیک بتواند این نقیصه را در قالب شرح وظایف کمیته‌های تخصصی انجمن برطرف نماید. بدیهی است، دست یابی به این اهداف، همکاری و همفکری تمام دست اnder کاران این رشته را می‌طلبد.

در این همایش حدود ۱۵۲ مقاله تخصصی دریافت شده است که با توجه به اهداف خاص همایش و محورهای اصلی و طرح در کمیته علمی همایش، تعداد ۹۰ مقاله مجوز انتشار و ارائه سخنرانی یا ارائه به صورت پوستر دریافت کرده‌اند که در این راستا از کلیه اعضای کمیته علمی همایش که زحمت داوری مقالات را عهده دار بوده‌اند قدر دانی می‌نماید. مقالات ارسال شده نشانگر علاقه‌مندی و در ارتباط بودن افراد زیادی را از دانشگاه‌های مختلف در سراسر کشور نشان می‌دهد و این موضوع جای بسیار امیدواری است.

در برگزاری این همایش افراد متعددی کمک و مساعدت کرده‌اند. از اعضای هیئت مدیره انجمن، اعضای کمیته علمی و اجرایی همایش انجمن، کانون فارغ‌التحصیلان جغرافیای دانشگاه تهران و خانه جغرافیا به واسطه همکاری‌های مجددانه ایشان که هیچ پاداش مادی را در برنداشته است سپاس‌گذاری می‌نمایم. در این میان از خدمات آقای سعید نگهبان مسئول دفتر انجمن و مدیر داخلی مجله که با توجه به مشغله زیاد و قرار داشتن در حساس‌ترین مرحله پژوهشی خود یعنی دفاع از رساله دکتری تشکر ویژه می‌نمایم. از آقایان دکتر سیاوش شایان که مسئولیت کمیته علمی همایش و نیز آقای ابوطالب محمدی دبیر اجرایی همایش که علیرغم گرفتاری‌های متعدد نهایت تلاش خود را برای برگزاری این همایش به کار بسته‌اند سپاس‌گذاری می‌نمایم. از مدیران محترم دانشکده جغرافیای دانشگاه تهران که امکانات سالن‌های همایش و سخنرانی را در اختیار نهاده‌اند قدردانی می‌نماید. از جانب آقای دکتر باری رئیس محترم کمیسیون انجمن‌های علمی وزارت علوم و سایر همکاران ایشان که امکان انتشار مجموعه مقالات را فراهم آورده‌اند قدردانی می‌کنم. یکی از وظایف انجمن‌ها برگزاری مراسم نکوداشت از پیشکسوتان رشته ژئومورفولوژی است که در پی نظر خواهی و مشاوره مقرر است در پایان این همایش، نکوداشت استاد محترم آقای دکتر فرج‌الله محمودی نیز برگزار شود. طبق روال مرسوم در چند سال اخیر این نکوداشت بلافصله بعد از همایش در خانه اندیشمندان جغرافیا و با مشارکت ایشان، کانون فارغ‌التحصیلان جغرافیا و خانه جغرافیا برگزار می‌شود. امید است با برگزاری این مجالس بتوانیم اندکی از خدمات ایشان را که گام‌های نخستین را برای معرفی رشته ژئومورفولوژی در ایران برداشته‌اند، ارج نهیم.

در پایان از طرف هیات مدیره انجمن از همفکری و ارتباط مستمر اعضای انجمن ژئومورفولوژی و شرکت کنندگان در این همایش که همواره مشوق ما در تداوم فعالیتها و روحیه بخش بوده‌اند صمیمانه سپاس‌گذاری می‌کنیم.

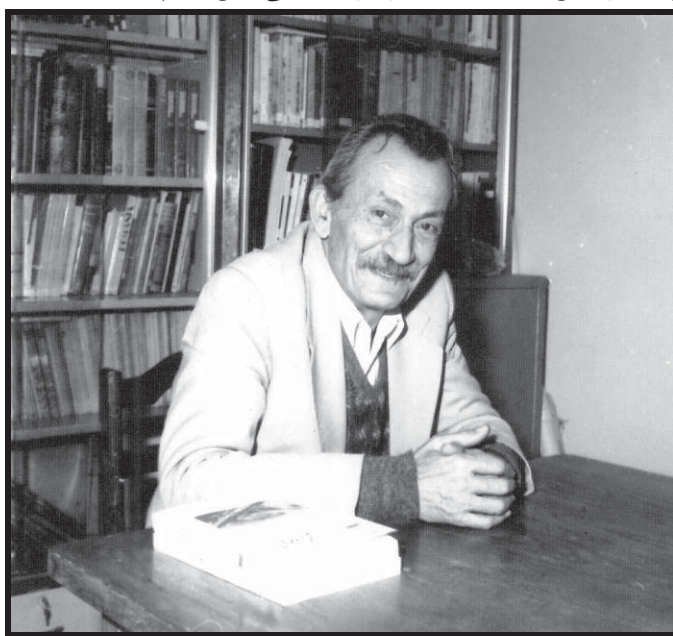
دکتر مجتبی یمانی

رئیس همایش

به مناسبت نکوداشت دکتر فرج‌الله محمودی

زندگی نامه استاد محمودی به قلم ایشان

در سال ۱۳۰۹ خورشیدی در شهر سنندج متولد شدم، تحصیلات ابتدائی و متوسطه را در سنندج در سال ۱۳۲۹ به پایان رسانیده و تا سال ۱۳۳۷ در آموزش و پرورش سنندج به عنوان معلم مشغول بودم. از سال ۱۳۴۰ تا ۱۳۴۷ در دانشگاه تهران در رشته تاریخ و چغرافیا ادامه تحصیل داده و در سال ۱۳۴۰ با کسب رتبه اول فارغ‌التحصیل شدم و مدت دو سال در وزارت آموزش و پرورش منطقه یک تهران به عنوان دبیر خدمت کردم. سپس از آغاز سال تحصیلی ۱۳۴۲ با بورس دولتی به فرانسه رفتم و در دانشگاه سوربن پاریس در رشته ژئومورفولوژی ثبت نام نمودم. به دلیل تفاوت کیفیت شرایط تحصیلی در کلاس‌های متفاوتی از جمله آزمایشگاه‌های ژئومورفولوژی تفسیر نقشه و عکس‌های هوایی و به ویژه کارگروه‌های روی زمین شرکت نمودم و در پایان سال تحصیلی ۱۳۴۶ پس از دفاع از رساله دکتری خود تحت عنوان "مطالعات ژئومورفولوژی در دره رود سن" به ایران بازگشتم و در تابستان ۱۳۴۷ به عنوان استادیار از آموزش و پرورش به دانشگاه تهران انتقال یافتیم. در طی ۳۴ سال کار مداوم آموزشی و پژوهشی با درجه استادی تمام وقت در سال ۱۳۸۱ به افتخار بازنیستگی نائل شدم.



از همان آغاز ورود به دانشگاه به دلیل کمبود یا در واقع نبود منابع قابل استفاده در زمینه ژئومورفولوژی ایران به کمک موسسه چغرافیای دانشگاه تهران سفرهای پژوهشی متعددی در تعطیلات تابستانی در سراسر ایران انجام داده و به تدریج با مسائل مهم و کلی ژئومورفولوژی ایران از نزدیک آشنا شدم. نتایج هر سفر پژوهشی را سالیانه در کلاس در اختیار دانشجویان قرار می‌دادم. این مسافرت‌ها در طول ۱۰ سال از ۱۳۴۷ تا ۱۳۵۷ به طور مداوم ادامه داشت که در پاره‌ای موارد با همکاران گروه همراه می‌شدم. هم زمان با ورود این جانب به دانشگاه تهران برنامه پژوهشی ۵ ساله‌ای با همت مرحوم دکتر احمد مستوفی ریاست وقت موسسه چغرافیا با پژوهشگران فرانسوی از دانشگاه سوربن در مورد بیابان‌ها به مرحله اجرا درآمد که نتایج آن آشنائی با ویژگی‌های بیابان‌های ایران به ویژه دشت لوت شد و اینجانب افتخار شرکت در این گروه پژوهشی مشترک را داشتم. نتایج این پژوهش در کتاب‌ها و مقالات متعددی منتشر شده است.

همزمان به عنوان عضو وابسته فرهنگستان علوم و از آغاز انقلاب تا حدود ۱۰ سال ریاست انجمن چغرافیائی ایران را بر عهده داشته‌ام. علاوه بر کارهای آموزشی در اجرای پژوهش‌های متعددی نیز شرکت داشته‌ام که می‌توان به مهم‌ترین

آنها پژوهش‌های جغرافیائی در غرب ایران (کردستان)، طرح شناسائی دشت لوت، طرح مطالعاتی بلوچستان، طرح پراکندگی جغرافیائی ریگزارهای ایران، طرح شناسائی استان سمنان و... اشاره نمود. خلاصه نتایج کارهای آموزشی پژوهشی اینجانب به شرح زیر است:

تألیف کتاب

- ◀ جغرافیای طبیعی ایران، سازمان کتاب‌های درسی آموزش و پرورش
- ◀ جغرافیای عمومی، سازمان کتاب‌های درسی آموزش و پرورش
- ◀ شبکه آب‌های روان دشت لوت - موسسه جغرافیای دانشگاه تهران
- ◀ گفتاری چند درباره طبیعت دشت لوت - موسسه جغرافیای دانشگاه تهران
- ◀ ژئومورفولوژی مورفولوژی دینامیک - انتشارات دانشگاه پیام نور
- ◀ ژئومورفولوژی مورفولوژی ساختمانی - انتشارات دانشگاه پیام نور
- ◀ ژئومورفولوژی اقلیمی - انتشارات دانشگاه پیام نور
- ◀ پراکندگی جغرافیائی ریگارهای ایران - وزارت جهاد سازندگی - سازمان جنگل‌ها و مراتع
- ◀ اطلس کویر های ایران با همکاری سازمان جغرافیائی نیرو های مسلح
- ◀ هیدرولوژی قاره‌ها با همکاری آقای دکتر معتمد - سازمان سمت
- ◀ روش تحقیق در جغرافیای طبیعی با همکاری دکتر مقیمی - انتشارات قومس
- ◀ همه جای ایران، گیلان، با همکاری اعضاء انجمن پژوهشگران ایران
- ◀ جغرافیای ناحیه‌ای (قروه بیجار و دیواندره کردستان) موسسه جغرافیای دانشگاه تهران
- ◀ کتاب کاشان - با همکاری دیگران
- ◀ کتاب دامغان - با همکاری دیگران

ترجمه کتاب

- ◀ ژئومورفولوژی مورفولوژی ساختمانی (جلد اول)، انتشارات دانشگاه تهران
- ◀ ژئومورفولوژی اقلیمی، انتشارات دانشگاه تهران - برنده جایزه کتاب سال ۱۳۷۰

تألیف مقالات

- ◀ ویژگی ناهمواری‌ها در دره کرج - انجمن جغرافیائی ایران
- ◀ ناودیس معلق سنقر (کردستان) - مجله دانشکده ادبیات دانشگاه تهران
- ◀ پادگانه‌های آبرفتی در دشت مریوان کردستان - شرکت مهندسی مشاور
- ◀ تقسیمات بیابان‌های ایران - فصلنامه رشد آموزش جغرافیا - سازمان کتاب‌های درسی
- ◀ تقسیمات نواحی طبیعی ایران - انجمن جغرافیائی ایران
- ◀ تحول ناهمواری‌های ایران در کواترنر - پژوهش‌های جغرافیائی - موسسه جغرافیا
- ◀ بهسازی محیط در دشت لوت - مجله محیط شناسی
- ◀ نبکا در بیابان‌های ایران به زبان فرانسه و در فرانسه چاپ شده
- ◀ تولد و مرگ یک نبکا - مجله دانشکده ادبیات و علوم انسانی

صفحه	فهرست مقالات	
	نويسنده/نويسندها	عنوان
۱۶	علی احمدآبادی، سمیه خسروی	کاربرد ژئومورفومتری در پایش تغییرات لندفرم برخان در منطقه مرنجاب
۲۰	هوشمند عطایی، مهناز شیران	بررسی ژئومورفولوژیکی روند تحول نیمرخ طولی آبراهه های اصلی دشت کرون با روش تحلیل ریاضی
۲۴	عبدالحسین حاجی زاده، زهرا مرادپور، موسی آقاجانی سید کاظم علوی پناه	تعیین پارامترهای آماری، مورفومتری و شیمیایی منطقه گندم بریان کرمان
۲۸	سیاوش شایان ، مجتبی یمانی، محمد شریفی کیا، مهران مقصودی، محمد اکبریان	پایش جابجایی توده های ماسه ای در پس کرانه های ساحلی نمونه موردی: ساحل غربی جلگه مکران
۳۲	مریم جابری	الگوی رسوب گذاری در انهار شهری و نقش آن در آب گرفتگی (مطالعه موردی منطقه ۱۱ تهران)
۳۵	موسی عابدینی، امید رحیمی	تراس های رودخانه ای شاهدی بر تغییرات اقلیمی در هولو سن (مطالعه موردی رودخانه قزل اوzen در محدوده استان کردستان)
۳۹	مجتبی یمانی، محمود علایی طالقانی، عبدالکریم ویسی، طاهر ولی پور	بررسی تأثیر خشکسالی بر مولفه های هیدرولوژیکی چشممه کارستی سبز علی
۴۳	سجاد باقری سیدشکری ایثار نورایی صفت ، احمد عباسیان، مریم جعفری اقدم	ارزیابی تأثیر ژئومورفولوژی کارست بر مخاطرات ناشی از آلودگی آبخوان های کارستی (مطالعه موردی آبخوان های کارستی حوضه رودخانه الوند)
۴۷	دکتر عزت الله قنواتی، اسماعیل نجفی، عبدالmajید قرنجیک ، الهام رهنما	پایش تغییرات خط ساحلی با استفاده از تکنیک های RS و GIS(مطالعه موردی: از دهانه گرگان روود تا دهانه رودخانه قره سو در جنوب شرق دریای مازندران)
۵۱	صدیقه لایقی ، سارای صارمی	تغییرات لندفرمیک بهشت گمشده زاگرس
۵۵	عباسعلی افضلی علی افضلی	پایش حساسیت به فرسایش خندقی با استفاده از مدل رگرسیون چند متغیره و مدل تجربی ارزش داده در کیاسر
۵۸	شهرام روستایی حسن احمدزاده	تکنیکهای تداخل سنجی راداری رویکردی نو در پایش تغییرات سطحی زمین (مطالعه موردی زمین لغزش های منطقه قطور)
۶۲	محمد شریفی	تحلیل فرم نیمرخ طولی یال یک دامنه به مثابه متداولوژی
۶۵	غلام حسن جعفری پریسا عطایی	تأثیر جهت و ارتفاع بر پراکندگی سکونتگاه های انسانی
۶۹	مهران مقصودی، سیامک شرفی	مطالعات زمین باستان شناسی در قلمرو پادگانه های رودخانه ای
۷۳	علیرضا شهبازی، محمد حسین رامشت	افتراء های الگویی در پیامدهای حرکات تکتونیک جنبا و فرونژنیست های ناشی از سوبسیدانس

۷۵	مهران مقصودی ابotalib محمدی زهرا خان بابایی صدیقه محبوبی مهدی بهاروند	پایش جابجایی ریگ و برخان های منطقه غرب لوت (پشوئیه) با استفاده از شاخص سله
۸۱	محمدعلی زنگنه اسدی، شهرام بهرامی، مجید کشاورزی	بررسی نقش پدیده های ژئومورفولوژی کارست تاقدیس دشتک در ویژگی های هیدرولوژیکی و شیمیایی چشمehا
۸۵	سیاوش شایان، هدیه دهستانی	شیوه های پایش تغییرات رود بر اثر برداشت منابع رودخانه ای (نمونه موردی رودخانه کشکان)
۸۸	محمد مهدی حسین زاده، صدرالدین متولی رضا اسماعیلی	ارتباط دبی لبالی، قدرت جریان و تنش برشی با واحدهای ژئومورفیک در رودخانه لاویج: دامنه شمالی البرز مرکزی
۹۲	زهرا عبدالله زاده، عادل سپهر	لندفرمهاي بيوژئومورفولوژيك: بازخوردهای اکوژئومورفیک در تحولات چهره زمین
۹۶	ريحانه برومند	پنهان بندی خطر ناپایداری های دامنه ای در قلمروهای کوهستانی نیمه خشک مطالعه موردی: حوضه آبریز جاغرق
۹۹	نفیسه اشتتری ، عارفه شعبانی عراقی	مدل سازی حجم رواناب و بارش موثر با استفاده از مدل های هیدرولوژیکی HEC-1 و OC Hydrograph (مطالعه موردی حوضه کسیلیان)
۱۰۳	سحر حافظی، هیوا علمی زاده ، امید ماه پیکر	بررسی نظریه آشوب در پایش تغییرات ژئومورفولوژیک تپه های ساحلی با استفاده از الگوریتم فرسایش، انتقال و رسوب گذاری
۱۰۷	محمد رضا یوسفی روش	نقش آبدھی رودهای حوضه آبریز دریای خزر برنسان سطح تراز آب دریای خزر
۱۱۱	عبدالکریم ویسی، صمد عظیمی راد، آرش کرمی	بررسی ژئومورفوسایت های منطقه سیمره با استفاده از روش کمی فاسیلوس
۱۱۵	صدیقه محبوبی، ابوذر کوشکی	ارزیابی و حفاظت از ژئومورفوسایت های شهرستان کوهدهشت (استان لرستان)
۱۱۹	سید رضا حسین زاده، محمد خانه باد، سیده بهاره برومند دانش	مطالعه شواهد سیلابهای دیرینه در حوضه رودخانه درونگر(شاخه شاهرگ) و کاربرد آن در برآورد ریسک سیلاب
۱۲۳	محمد رضا قدری	بررسی نقش نمادین زمین ریختهای کارستی «کوه اشکوت، شمال غرب ایران»
۱۲۶	منصور جعفر بیگلو، عبدالکریم ویسی، مجتبی چیتساز	امکان سنجی ژئوتوریسمی تنگ نیان با استفاده از مدل SWOT
۱۳۰	امیر کرم، شیلا حجه فروش، نعیمه السادات محصل همدانی، حوریه مرادی	بررسی علل ایجاد فروچاله ها و تهیه ای نقشه ای خطر نقاط مستعد وقوع آن در دشت ابرکوه (استان یزد)
۱۳۳	ابوالقاسم امیراحمدی ، سیما پورهاشمی، نگار گلشنی حمید نژادسلیمانی	تحلیل حساسیت متغیرهای ژئومورفولوژی موثر بر سیلاب با استفاده از مدل HEC-HMS (مطالعه موردی: زرچشمہ هونجان)

۱۳۷	جعفر رکنی، ریحانه احمدی روحانی، سحرناز تاج بخش	استفاده از داده های ماهواره ای نگرشی نو در شناخت و حفاظت از میراث زمین شناختی
۱۴۱	دکتر امیر کرم ، منیره رعیتی شوازی	آلومتری در ژئومورفولوژی و نقش آن در پایش تغییرات لندرم ها
۱۴۴	معصومه بنی صفار	برآورد سیلاب حوضه آبریز با به کار گیری روش های تجربی کریگر، فولر و SCS (مطالعه موردی: حوضه آبریز زرین گل استان گلستان)
۱۴۸	وجیله قلیزاده، علی اشراقی	شناسنامه دار شدن لندرم های ژئومورفیک به عنوان مرحله آغازین ژئوکنسرویشن با رویکرد علمی پژوهشی
۱۵۲	سمانه حسن پور، هیوا علمی زاده	نقش تغییرات اقلیمی بر تخریب آبسنگ های مرجانی جزیره کیش و پدیده سفید شدگی آن
۱۵۶	سیروس فخری، یونس غلامی بیمرغ	نقش معیارهای ژئومورفولوژیکی در مکان گزینی شهرها با رویکرد دفاع غیر عامل (منطقه شمال شرق کشور)
۱۵۹	نصرین نیک آندیش، ام البنین ابوالحسنی، زهرا باغبانی، مليحه حکیمی نژاد	اکو ژئومورفولوژی، مدنیت و تغییرات اقلیمی در تپه های باستانی سیلک
۱۶۳	سمانه ریاهی، حسین روستا	ارزیابی و پنهان بندی عوامل موثر در وقوع سیلاب با استفاده از روش سلسه - مراتبی (مطالعه موردی : حوضه رودخانه کن)
۱۶۷	زهرا داداش زاده ، مریم رحمتی، زهرا حاجی کریمی	هویت مکانی چاله اردبیل و نقش آن در شکل گیری مدنیت شهری
۱۷۱	محمد حسین رضایی مقدم، مسعود رحیمی، عبدالکریم ویسی، اصغر نویدفر	نقش تغییرات کاربری اراضی در افزایش وقوع مخاطره سیلاب در حوضه شهری گیلان غرب
۱۷۵	امیر صفاری ، مصطفی غنمی جابر ، جبرائل کاظمی اردبیلی	توسعه ژئوتوریسم روستایی با رویکرد گردشگری پایدار(مطالعه موردی شهرستان خلخال استان اردبیل)
۱۷۹	دکتر داود مختاری مریم صدوqi متنق، ارسلان مهرورز طالش مکایبل	ارزیابی توانمندی های ژئوتوریستی حوضه آبریز سعید آباد چای و اوچان چای
۱۸۳	قاسم لرستانی، ابراهیم مقیمی ، مجتبی یمانی، احمد معتمد، منصور جعفر بیگلو	ارتباط تغییر مصب رودخانه با نوارهای ماسه ای (قاعده دلتای سفیدرود)
۱۸۷	الهه اکبری ، نادیا بقائی نژاد	مقایسه مدل های FARGAS، هیدروفیزیکی ، BLM و FAO در تخمین فرسایش و رسوب با استفاده از GIS (مطالعه موردی حوضه آبخیز طبس)
۱۹۰	زهرا خان بابایی قباد رستمی زاد	بررسی تغییرات مکانی و زمانی کیفیت آب زیرزمینی دشت تهران - کرج
۱۹۴	عزت الله قواتی، امیر کرم ، نازیلا یعقوب نژاداصل، اسماعیل نجفی	طبقه بندی مورفو کلیماتیک ناهمواری های مکران با استفاده از روش تحلیل خوش ای
۱۹۸	سیروس آزادی، روجا صفاییان ، علیرضا	فیتو ژئومورفولوژی، نگرشی نو در مطالعات محیط زیست

	عنوان	مطالعه موردی: دشت انارک نائین-اصفهان
۲۰۲	سیدمهدي پور باقر	معرفی الگوريتمي برای پايش اکوژئومورفولوژي ساحلي دريای خزر با کمک MODIS سنجنده
۲۰۶	موسى عباسی، انور مرادی، محسن بزرگار	بررسی خصوصیات هیدرولوژی ژئومورفولوژی حوضه آبریز رودخانه قشلاق
۲۱۰	علييرضا تقیانی، عبدالمجید احمدی	پدیده های ژئومرفوتوریستی و ارتباط آنها با صنعت گردشگری و توسعه مناطق (نمونه موردی: منطقه اورامانات غرب کشور)
۲۱۴	غلامرضا روش	پايش و ارزیابی توان اکولوژیک دهستان گاما سیاپ (شهرستان نهادوند) بر اساس پارامترهای ژئومورفولوژیک
۲۱۸	محمدحسین رضایی مقدم ، محمد رضا نیکجو، محدثه اصفهانی، آمینه محمدی	آشکارسازی تغییرات مورفولوژیکی رودخانه گرگانرود در ۲۲ کیلومتری ساحل خزر با استفاده از تصاویر ماهواره‌ای
۲۲۲	سعید خضری، عاطفه احمدی، منیر یاری، جهانگیر حیدری ، سالار کهزادی	ارزیابی توانمندی‌های ژئومرفوتوریسمی لندفرم‌ها بر اساس روش پرالونگ (مطالعه موردی: شهر کوهدهشت)
۲۲۶	سعید خضری عاطفه احمدی	مکان یابی دفن پسمند شهری با تاکید بر عوامل ژئومورفولوژیک (موردی: شهر ربط در شمال غرب ایران)
۲۲۸	صاد اصغری، وحید محمد نژاد،	بررسی نحوه تغییر ضریب خمیدگی پیچانرودی در بالادست و پایین دست سد گرمی چای
۲۳۲	زهرا پورحسینی ، مجتبی یمانی، محمدعلی نظام محله	ارزیابی تأثیر فرآیند های دامنه ای در آسیب به ساختمان های شهری با مدل فازی، مطالعه موردی ولنجک
۲۳۵	خهبات درخشی، صدرالیدن متولی، محمد مهدی حسین زاده، رضا اسماعیلی	پهنه‌بندی خطر زمین‌لغزش حوضه آبخیز طالقان با استفاده از نسبت فراوانی و رگرسیون چند متغیره
۲۳۹	غلامرضا زارع	کاربرد داده‌های سنجش از دور در پایش پهنه‌های شور (مطالعه موردی: شهرستان داراب)
۲۴۲	سمیه عمادالدین، فخر الدین نامجو، سپیده ایمنی	ارزیابی قابلیت ژئومرفوتوریسم گلفشان قارنیاق در استان گلستان
۲۴۵	مجتبی یمانی، مجتبی هدایی آرانی، سعید رحیمی هرآبادی، عباس ارغوانی	تحلیل شرایط آستانه‌های ژئومورفیک در وقوع مخاطرات جابه‌جایی ماسه‌های روان در بند ریگ کاشان
۲۴۹	عبدت محمدیان ، زهرا رنجبر باروق	بررسی تغییرات آنتروپوژنیک در تنوع زمینی
۲۵۲	وحید محمد نژاد، صاد اصغری	پایش تغییرات سطح آب دریاچه داخل غار سهولان مهاباد
۲۵۵	هانا قادری زاده	بررسی ویژگیهای ژئوتوریستی دز باستانی زیویه با استفاده از مدل SWOT

۲۵۹	فاطمه نعمت‌الهی، محمد حسین رامشت	فضای ترامتنیت در ژئومورفولوژی
۲۶۳	سمیه عمام الدین	ارزیابی ژئومورفولوژیکی تغییر مسیر رودخانه نکا در دوره هولوسن و عهد حاضر
۲۶۷	خهبات درخشی، منیژه قهروندی تالی	ریزپهنه‌بندی خطر سیلان در محدوده شهر تهران
۲۷۱	زهرا یوسفی خانقاہ	تغییرات ژئومورفولوژی و مدیریت سواحل، نمونه موردی ساحل شرقی دریاچه ارومیه
۲۷۵	صدیقه لایقی	بررسی روند کاهش وسعت تالاب کوبیری جازموریان و تاثیرات آن برایجاد ریزگردها
۲۷۹	معصومه موسوی	پایش مخاطرات شهری با استفاده از فناوری سیستم اطلاعات جغرافیایی مطالعه موردی: حوضه‌ی شهری ایذه
۲۸۳	مجتبی یمانی، پریسا پیرانی، فاطمه مرادی‌پور، عارفه شعبانی عراقی	مقایسه تغییرات دبی حوضه‌های کنگیر و آب شیروان به سبب تأثیر ویژگی‌های مورفومتریک
۲۸۷	امیر کرم، امیر صفاری، پرویز ضیائیان، سمیه بابایی زاده، پروانه مجیدی	طبقه‌بندی الگوی رودخانه‌ای براساس روش راسگن (مطالعه موردی رودخانه نعمت‌آباد استان همدان)
۲۹۱	محمد رضا غریب‌رضا	ژئومورفولوژی خلیج چابهار و تغییرات اقلیمی کواترنر پسین
۲۹۵	غلامرضا روشن، مهدی حسام، حدیثه آشور	پایش تنگناهای ژئومورفولوژیکی گسترش فیزیکی روستاها (مطالعه موردی: رostaی زیارت شهرستان گرگان)
۲۹۹	علیرضا ایلدرمی، ستاره فرمانی‌منصور	بررسی تغییرات اقلیمی کواترنر در تحول ژئومورفولوژیکی دامنه‌های شمالی الوند همدان
۳۰۲	امیر کرم، مریم تورانی	پهنه‌بندی نواحی مستعد وقوع لغش با استفاده از روش رگرسیون خطی (مطالعه موردی: محور هراز از رودهن تا رینه)
۳۰۶	اکبرمهر جونزاد، عذرًا ساعد، نگین الماسیان	شبیه سازی بارش و رواناب حوضه‌های آبخیز الموت، کردان با استفاده از مدل HEC-HMS
۳۰۹	سید رضا حسین‌زاده، محمد خانه‌باد، عذرًا خسروی	مکانیابی و احداث سازه‌های هیدرولیکی بر مبنای نتایج مطالعات پائوسیلان (نمونه موردی: رودخانه کلات خراسان رضوی)
۳۱۳	امیر صفاری، مهدی احمدی، سعید رحیمی‌هرآبادی	طبقه‌بندی مورفولوژی خندق‌ها و تأثیر آن در روند تغییرات و خطرپذیری فرسایش خندقی (موردی: حوضه‌ی دشت کهور، استان فارس)
۳۱۷	شهرام روستایی، ستاره فرمانی‌منصور	حفظ از میراث‌های زمین‌شناختی در حال تغییر (مطالعه موردی: منطقه گیان نهادن)
۳۲۰	عیسی جوکار سرهنگی، گل‌دخت فیاضی	بررسی تغییرات مئاندرهای رودخانه گلندرود در امتداد جاده بلده-رویان
۳۲۴	حدیث مرادی، معصومه رجبی	بررسی اثرات فلورویال نوسانات سطح اساس دریاچه ارومیه بر روی سواحل

		جنوبی آن
۳۲۷	محمد حسین رضایی مقدم، مسعود رحیمی، عبدالکریم ویسی، اصغر نویدفر	نقش تغییرات کاربری اراضی در افزایش وقوع مخاطره سیلاب در حوضه شهری گیلان غرب
۳۲۱	منیزه قهرودی تالی، لادن خدری غریبوند	دیدگاه بیوژئومورفیک در مطالعه تالابها (مطالعه موردی تالاب گاوخونی)
۳۲۵	طیبه اکبری ازیرانی	کاربرد گردش شناسی (پالینولوژی) در مطالعه تغییرات آب و هوای دیرینه ایران
۳۴۰	سهیلا قلعه نویی، محمد خانه باد، سید رضا موسوی حرمی، اسدالله محبوب	بررسی پارامترهای بافتی و نامگذاری رسوبات در رودخانه صدexo (غرب سبزوار)

کاربرد ژئومورفومتری در پایش تغییرات لندفرم برخان در منطقه مرنجاب

علی احمدآبادی^۱، سمهیه خسروی^۲

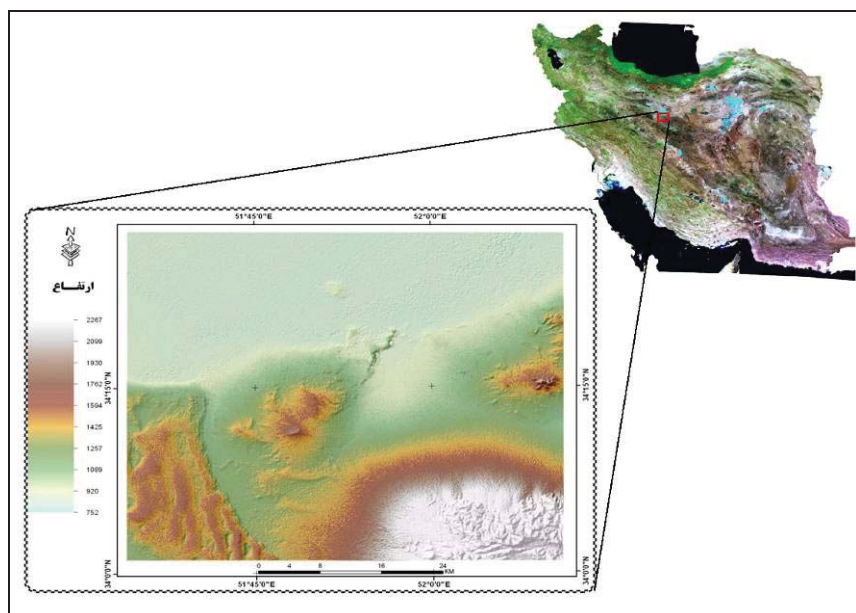
^۱ استادیار دانشکده جغرافیا، دانشگاه خوارزمی، a_ahmadabadi@yahoo.com

^۲ دانشجوی دکتری ژئومورفولوژی دانشگاه اصفهان، khosravi_somaye@yahoo.com

۱- مقدمه و منطقه مورد مطالعه

در بیشتر تعاریف ژئومورفولوژی بر مطالعه و شناسایی لندفرم‌های سطحی زمین تاکید شده است و به عبارت دیگر لندفرم‌ها محور اصلی در بیشتر تعاریف ژئومورفولوژی می‌باشند (Lobeck, 1939; Pitty, 1971; Summerfield, 1991). شناخت لندفرم‌ها و نحوه پراکنش آنها از نیازهای اساسی در علم ژئومورفولوژی کاربردی و سایر علوم محيطی می‌باشد. نقشه لندفرم‌ها نمایانگر اشکال سطح زمین و ماهیت فرایندهایی است که در یک ناحیه عمل کرده و یا در حال حاضر عمل می‌کند (شایان و همکاران؛ ۱۳۸۴: ۴۹). در رویکردی جدید با مطرح شدن بحث ژئومورفومتری یا مطالعه کمی اشکال زمینی و لندفرم‌ها، این امکان وجود دارد که شناخت و ادراک مفهومی و ذهنی از لندفرم‌ها، تبدیل به معیارها یا خصوصیات قابل اندازه‌گیری یا کمی شود، تا بتوان لندفرم‌ها را بصورت کمی نمایش داد یا برای شناسایی و طبقه‌بندی لندفرم‌ها به کار گرفت (شایان و همکاران؛). از طرفی لندفرم‌ها حداقل دو ویژگی اساسی را دارا می‌باشند اول اینکه نتیجه فرایندهای ژئومورفولوژیک و زمین شناختی گذشته هستند و دوم به عنوان مرزهایی مشخص برای تعیین قلمرو حاکمیت فرایندهای ژئومورفولوژیک کنونی می‌باشند (Dehn et al., 2001) و از این منظر تهیه نقشه لندفرم‌ها اهمیت و کاربردهای فراوانی دارد. بنابراین ضرورت شناسایی لندفرم‌ها و پایش تغییرات آنها با رویکرد کمی وجود دارد. در این مطالعه لندفرم برخان بعنوان یکی از لندفرم‌های بادی در منطقه مرنجاب با رویکرد ژئومورفومتری مورد شناسایی و استخراج قرار گرفته است. برخان، تپه‌های ماسه‌ای هلالی شکلی هستند که دارای شکل متقاضن و نامتقاضن می‌باشند. برخان‌ها در زمرة تپه‌های ماسه‌ای متحرک‌اند.

منطقه مرنجاب نیز بعنوان بخشی از حوزه آبخیز قم در بخش جنوبی دریاچه نمک قرار گرفته است (شکل ۱). بیشترین ارتفاع منطقه مطالعاتی با ۲۲۶۷ متر در جنوب شرقی منطقه و در کوههای یخاب قرار گرفته و پستربین نقطه در شمال منطقه مطالعاتی در لندفرم پلایا که از رسوبات تبخیری دوره میوسن پوشیده شده، قرار دارد. بیشتر سازندۀای منطقه از نوع سنگهای آذرین و سنگهای تبخیری می‌باشد و همچنین بارندگی سالیانه منطقه کمتر از یکصد میلی‌متر گزارش شده است (کلینسلی، ترجمه پاشایی؛ ۱۳۸۱).



شکل ۱) نقشه محدوده مورد مطالعه

۲- مواد و روشها

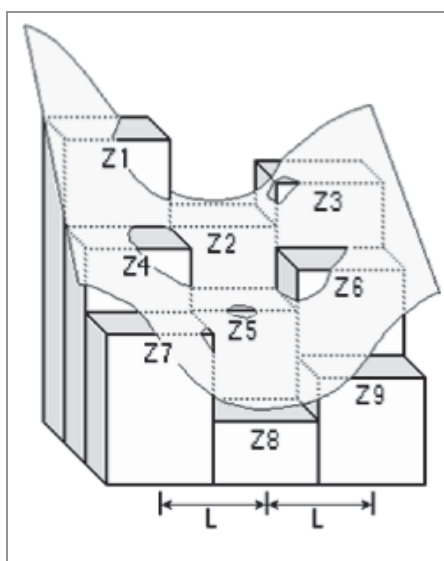
در این تحقیق از داده های سنجنده ETM ماهواره لندست، داده های ماهواره QuickBird و مدل رقومی ارتفاعی SRTM استفاده شده اما داده اصلی مورد استفاده در استخراج برخان، داده های P5 ماهواره کارتوست ۱ است که برای اسخراج مدل رقومی ارتفاع به روش استریو نیز استفاده شده است که هدف اصلی تولید مدل رقومی ارتفاع با قدرت تفکیک مکانی بالا و تحلیل های میکرولندفرمی می باشد. شماره سین های داده P5 مورد استفاده ۳۱۰۱ و ۳۲۰۱ می باشد که از سازمان جغرافیایی نیروهای مسلح تهیه گردید. برای استخراج مدل رقومی ارتفاع از توابع RPC در محیط IAPS ارداس با انتخاب حدود ۳۵ نقطه گره، استفاده شده است. دقت استخراج مدل رقومی ارتفاع ۱.۲ پیکسل محاسبه گردید. قابل ذکر است به علت محدودیت دسترسی به داده های P5 فقط از سین داده برای تحلیل برخان ها در منطقه منجانب بعنوان یک میکروفرم استفاده شده است. در این تحقیق با توجه به قابلیت های نرم افزاری و دسترسی؛ از نرم افزارهای MicroDEM، LandSurf و همچنین جعبه ابزارهای Visual Basic که از طریق برنامه نویسی در محیط ArcGIS توسعه یافته اند؛ استفاده شده است.

۱-۲ مدل های رقومی ارتفاع و ژئومورفومتری

مدلهای رقومی ارتفاع، مفیدترین شکل نمایش پستی و بلندیهای سطح زمین است. این مدل بر مبنای داده رستری است که در آن ارزش هر سلول نمایشگر ارتفاع آن است. بنابراین جهت و شبیه دامنه از طریق مشتق گیری درجه اول قابل برآورد است. با مشتق گیری درجه دو نیز می توان انحنای سطح در دو جهت متفاوت را محاسبه کرد. شبیه بصورت صفحه مماس بر سطح در یک نقطه مورد بررسی، با استفاده از مدل رقومی ارتفاع تعريف می شود و دارای دو جزء مهم و تقریباً متفاوت شبیه یا گرادیان و جهت است که به ترتیب نشانگر حداکثر تغییر ارتفاع و جهت زاویه ای می باشد. در مطالعات ژئومورفولوژیک مشتق های درجه دوم بیانگر تغییرات شبیه در مسیر جریان و در امتداد خطوط میزان می باشد و بنابراین حاوی اطلاعات ارزشمندی در ارتباط با عوارض سطح زمین است. شبیه معمولاً بر حسب درصد یا درجه اندازه گیری می شود. جهت بر حسب درجه از مبدأ شمال جغرافیایی و تحدب و تقدیر، نیز بر حسب درجه در واحد فاصله تعريف می شود. با تعريف پنجره هایی با ابعاد مختلف (مثلث ۳*۳ و جایجا کردن آن در داده های ماتریس ارتفاع می توان مشتق های درجه اول و درجه بالاتر را محاسبه کرد (علی محمدی، ۱۳۸۸: ۱۶۵). محاسبه انواع انحناء در مدل رقومی ارتفاع رستری بصورت پیکسل به پیکسل محاسبه می شود و برای هر سلول از یک معادله چندجمله ای درجه چهار استفاده نموده (رابطه ۱) و در یک پنجره با ابعاد ۳*۳ محاسبه می شود (شکل ۲).

$$Z = Ax^2y^2 + Bx^2y + Cxy^2 + Dx^2 + Ey^2 + Fxy + Gx + Hy + I$$

رابطه ۱



شکل ۲) نمایش شماتیک پارامترهای مورد استفاده در محاسبه انحناء

۳- یافته ها و بحث

برخان ها جزء لندفرم های تراکمی بادی هستند و وقتی ایجاد می گردند که جهت باد در تمام طول سال ثابت باشد و از طرف دیگر ماسه کافی برای پوشش سطح در اختیار نباشد (Blumberg, 2006). در محدوده بند ریگ کاشان در شمال غربی منجانب شرایط فوق از جمله باد غالب شمال غربی (Maghsoudi et al., 2010) باعث تشکیل برخان گردیده است نمونه ای از برخانهای منطقه مطالعاتی در شکل ۲ ارائه شده است. به منظور

انجام تحلیل در مقیاس بزرگتر روی میکروفرم‌های ماسه‌ای از مدل رقومی ارتفاع تهیه شده به روش استریو استفاده شده است. با بکارگیری تحلیل‌های ژئومورفومتریک به کمک نرم‌افزار Landserf و روش وود، قله یا رأس در برخان‌های هلالی شکل استخراج گردید.

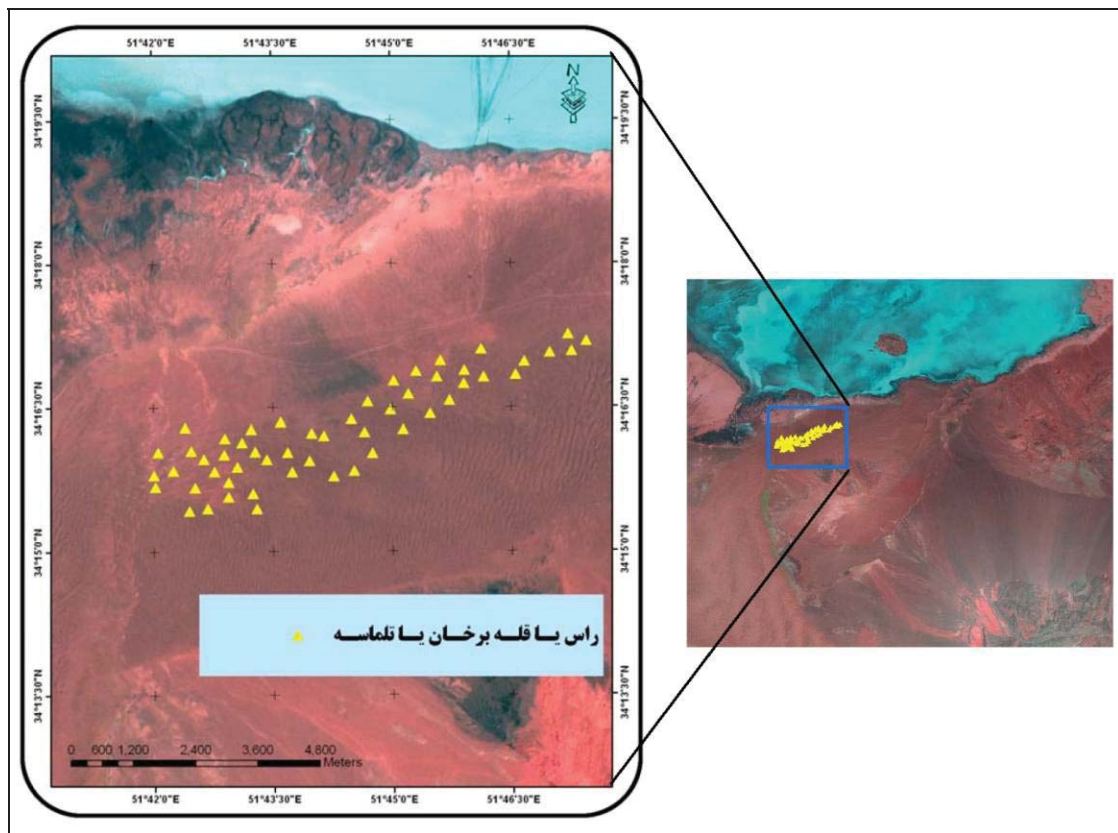


شکل ۳) نمونه‌ای از لندفرم برخان در منطقه مطالعاتی

پراکنده‌گی برخان‌ها در منطقه مرنجاب بیشتر در حاشیه دریاچه نمک و جنوب غربی کاروانسرا مرنجاب دیده می‌شود. ارزیابی دقیق انجام گرفته برای شناسایی برخان‌ها در منطقه مرنجاب حدود ۸۰ درصد می‌باشد که با استفاده از داده‌های ماهواره QuickBird انجام شده است. نتایج استخراج رأس برخان نشان داد که دقت استخراج قله یا رأس برخان با اعمال یک فیلتر مود $3*3$ افزایش چشمگیری دارد و در نهایت فاصله برخان‌ها به روش اقلیدسی در محیط نرم‌افزار ArcGIS محاسبه گردید. نتایج نشان داد لندفرم برخان در بخش بندریگ منطقه مرنجاب دارای فاصله‌های نسبتاً نزدیکی هستند بطوریکه از حدود ۵۳ برعکش شناسایی شده، برخان‌های با فاصله حدود ۸۰ الی ۱۰۰ متر با حدود ۳۴ درصد بیشترین فراوانی و گسترش را در منطقه دارند. و برخان‌های با فاصله ۶۰ الی ۸۰ متر در مرتبه بعدی فراوانی قرار دارند. همچنین برخان‌های با فاصله بیشتر از ۱۲۰ متر و کمتر از ۲۰ متر کمترین فراوانی را دارند(شکل ۴). بنابراین فاصله میانگین قرارگیری تلماسه‌ها در بخش بند ریگ حدود ۹۰ متر برآورد می‌گردد که از شرایط خاص منطقه اعم از قطر ماسه، در دسترس بودن ماسه و رژیم بادهای منطقه مرنجاب تأثیر می‌پذیرد.

۴- نتیجه گیری

با مطرح شدن بحث ژئومورفومتری و شناسایی کمی اشکال سطح زمین و لندفرم‌ها به نوعی از رویکرد سنتی در نقشه‌کشی لندفرم‌ها مبتنی بر تفسیر بصیری فاصله گرفته و به سمت اتواماسیون کامل در شناسایی و طبقه‌بندی لندفرم‌ها را گام برداشته شده است و در این زمینه شاخص‌ها کمی که بیشتر مشتقات درجه دوم مدل‌های رقومی ارتفاع هستند نقش موثری دارند و در این تحقیق با کمک آنها لندفرم برخان بصورت کمی شناسایی گردید و نتایج با دقت ۰.۸۰٪ در استخراج لندفرم برخان امکان استفاده از ژئومورفومتری را در مطالعات پایش تغییرات لندفرمی را نشان می‌دهد.



شکل ۴) موقعیت برخان‌های استخراج شده به روش ژئومورفومتری

۵- مراجع

- [۱] شایان، سیاوش ، مجتبی یمانی، منوچهر فرج زاده، علی احمدآبادی، ۱۳۹۲: طبقه بندی نظارت شده لندفرم‌های ژئومورفولوژیکی مناطق خشک با استفاده از پارامترهای ژئومورفومتریک؛ نشریه علمی پژوهشی سنجش از دور و GIS ایران، سال چهارم، شماره ۲ (پیاپی ۱۴).
- [۲] شایان، سیاوش ، مجتبی یمانی، منوچهر فرج زاده، علی احمدآبادی، ۱۳۹۱: ارزیابی کارایی شاخص‌های ژئومورفومتریک به روش وود در طبقه بندی لندفرم‌های مناطق خشک. برنامه ریزی و آمایش فضا (مدرس علوم انسانی) بهار ۱۳۹۱ (پیاپی ۷۳).
- [۳] شایان، سیاوش؛ فاطمه ملامهر علیزاده؛ مهدی جنتی؛ ۱۳۸۴: کارایی داده‌های سنجش از دور (RS) در تهییه نقشه‌های لندفرم و نقش آن در برنامه‌ریزی محیطی. فصلنامه مدرس علوم انسانی، دوره ۹، شماره ۴؛ صفحات ۴۹-۸۰.
- [۴] علی‌محمدی، عباس؛ ۱۳۸۸: مبانی علوم و سیستم‌های اطلاعات جغرافیایی. انتشارات سازمان مطالعه و تدوین کتب علوم انسانی دانشگاهها(سمت).
- [۵] کلینسلی، دانیل ترجمه عباس پاشائی؛ ۱۳۸۱: کویرهای ایران و خصوصیات ژئومورفولوژیکی و پالئوكلیماتولوژی آن. انتشارات سازمان جغرافیایی وزارت دفاع و پشتیبانی نیروهای مسلح. چاپ اول.
- [6] Blumberg, D.G. (2006). Analysis of large aeolian (wind-blown) bedforms using the Shuttle Radar Topography Mission (SRTM) digital elevation data. *Remote Sensing of Environment*, 100, 179- 189.
- [7] Chorley, R.J., Dunn, A.J. and Beckinsale, R.P. (1964): *The History of the Study of Landforms*, Vol. 1, London: Methuen.
- [8] Dehn, M., Gärtner, H., Dikau, R., 2001. Principles of semantic modeling of landform structures. *Computers & Geosciences* 27, 1005-1010.
- [9] Evans, I.S. (1972). General geomorphology, derivatives of altitude and descriptive statistics. In R.J.Chorley (Ed.), *Spatial Analysis in Geomorphology* (pp. 17-90). London: Methuen & Co. Ltd
- [10] Maghsoudi, Mehran, Ghasem Lorestani, Ali Shahriar and Ahmad Hosainzade. 2010. Relationships between Effective Parameters in Barchans' Shape (Case Study: South-West of Maranjab). *American-Eurasian J. Agric. & Environ. Sci.*, 8 (3): 245-252.
- [11] SUMMERFIELD, M. A. 1991. *Global Geomorphology*, an Introduction to the Study of Landforms. Longman, Harlow, Chapter 1.

بررسی ژئومورفولوژیکی روند تحول نیمرخ طولی آبراهه های اصلی دشت کرون با روش تحلیل ریاضی

^۱هوشمند عطایی، ^۲مهناز شیران

^۱استادیار گروه جغرافیا، دانشگاه پیام نور، اصفهان H_ataei@pnu.ac.ir

^۲کارشناس ارشد ژئومورفولوژی، گروه جغرافیا، دانشگاه پیام نور، اصفهان mahnaz.shiran@yahoo.com

۱- مقدمه و منطقه مورد مطالعه

در یک حوضه ابخیز که در آن اشکال ژئومورفولوژیکی در یک روند تکرار شونده دائم استخوش تغییر و تحول هستند، مسئله دخالت زمان در تحول شکل ناهمواریها اهمیت قابل توجهی دارد (مقیمی و محمودی، ۱۳۸۳، ۴۵) لذا کمی کردن تحلیل ها به همراه تحلیل های توصیفی می تواند به مطالعه تحولات گذشته و پیش بینی های آینده کمک کند. در این میان تحلیلهای کمی و مطالعه روند تحول دره های اصلی به جهت امکان کمی سازی مورد توجه قرار می گیرند. با عنایت به این نکته مهم که روند تحول دره ها به طور غیر مستقیم بیانگر ویژگی ها و شدت وضعف رسوب زایی رودخانه های جاری در نواحی کوهستانی نیز هست، از این نظر تحلیل روند تحول دره ها از دیدگاه ژئومورفولوژی کاربردی نیز اهمیت پیدا می کند. (بیاتی خطيبي و رجبی، ۱۳۸۵، ۴۵) از دیگر سو قدرت تخریبی رود بستگی مستقیم به سرعت جریان آب دارد که خود به شیب رودخانه بستگی دارد، دانستن شیب نقاط مختلف رودخانه می تواند تصویر روشنی از قدرت تخریبی رود در نقاط مختلف آن ارائه کند (رفاهی، ۱۳۸۵، ۲۱۱) لذا نیمرخ طولی رودخانه می تواند اطلاعات مفیدی در مورد حوضه مانند سرعت حرکت آب، قدرت فرسایشی رودخانه و زمان تمرکز را به دست دهد (علیزاده، ۱۳۸۳، ۴۹۶). مطالعه بر روی تغییرات ژئومورفولوژی و فرسایش با تأکید بر تحول آبراهه ها و نگرش سیستمی توسط محققانی چون سلیمانی (۱۹۸۵)، استانفورد (۱۹۹۳)، اهموری (۱۹۹۶) انجام شده است. اما می توان گفت که در میان این محققان، اهموری اولین محققی است که بررسی تحول دره ها و فرسایش آبراهه ها را با استفاده از روش های کمی، از قالب توصیف خارج و به حیطه تحلیل وارد کرد.

معرفی منطقه: منطقه مورد مطالعه بخشی از اراضی شهرستان تیران و کرون در غرب اصفهان را شامل می شود و زیر حوضه ای از حوضه بزرگ مرغاب (اراضی بالا دست حوضه) است که به زاینده رود می ریزد . این دشت بین ۵۰' تا ۳۲' عرض شمالی و ۵۰' تا ۵۶' طول شرقی واقع است و توسط دو رشته کوه که جزء پیشکوههای زاگرس است از طرف جنوب محصور شده است (شکل ۱) (امیر احمدی و شیران، ۱۳۸۸، ۱۵۶).

۲- مواد و روشها

برای انجام پژوهش نقشه توپوگرافی حوضه دشت کرون در مقیاس ۱:۵۰۰۰۰۰ به صورت رقومی تهیه گردید سپس واحدهای هیدرولوژیک و آبراهه اصلی در هر یک از این زیر حوضه ها مشخص گردید. بدین ترتیب حوضه به بیست زیر حوضه تقسیم گردید. برای ترسیم نیم رخ طولی آبراهه اصلی در هر یک از زیر حوضه ها اندازه گیری های لازم توسط نرم افزار arc view انجام گرفت و برای انجام تحلیل رگرسیونی از نرم افزار spss استفاده شد. به منظور بررسی روند تحول یافتنی در دره های اصلی هر یک از زیر حوضه ها از روش ریاضی استفاده شد.

خلاصه ای از وضعیت آبراهه ها در جدول (۱) آمده است.

شیب متوسط	زیر حوضه
%۱۰>شیب	S۲, S۳, S۴, S۵, S۶, S۷, S۸, S۹
%۱۰<شیب%۵	S۱۳, S۱۴, S۱۵, S۱۶, S۱۷
%۵>شیب	S۱, S۱۰, S۱۱, S۱۲, S۱۸, S۱۹, S۲۰

جدول ۱- ویژگیهای آبراهه اصلی در زیر حوضه های دشت کرون

روش ریاضی

در این روش مسیر جریان آبراهه اصلی در هر زیرحوضه در بین منحنی های ارتفاعی اندازه گیری می شود (X) و ارتفاع هر یک از منحنی ها با مقدار (y) شناخته می شود. سپس به منظور برآش داده ها با توابع ریاضی داده های مربوط به نسبت های ارتفاعی به ارتفاع کل آبراهه ($Y=y/h$) و نسبت طولی به طول کل آبراهه ($X=X/l$) برآورد می شود.

این مقادیر برای تمام زیرحوضه های بیست گانه دشت کرون محاسبه شده و به عنوان نمونه مقادیر مربوط به زیرحوضه شماره (۱) در جدول شماره (۲) آمده است.

ارتفاع(m)	طول (Km)	Y	X
۳۴۰۰	۳۰/۹۸	۱	۱
۳۳۰۰	۲۷/۳	۰/۹۷	۰/۸۸
۳۲۰۰	۲۲/۲۳	۰/۹۴	۰/۷۲
۳۱۰۰	۱۸/۷۳	۰/۹۱	۰/۶۰
۳۰۰۰	۱۵/۷۷	۰/۸۸	۰/۵۱
۲۹۰۰	۱۲/۵۳	۰/۸۵	۰/۴۰
۲۸۰۰	۹/۷۷	۰/۸۲	۰/۳۱
۲۷۰۰	۶/۸۷	۰/۷۹	۰/۲۲
۲۶۰۰	۴/۸۴	۰/۷۶	۰/۱۵
۲۵۰۰	۲/۵۱	۰/۷۳	۰/۰۸
۲۴۰۰	۱/۰۷	۰/۷۰	۰/۰۳
۲۳۰۰	۰/۴۶	۰/۷۷	۰/۰۱
۲۲۰۰	۰/۴۱	۰/۶۵	۰/۰۱

جدول ۲- مقادیر طول، ارتفاع، X و Y مربوط به دره اصلی زیرحوضه S1 دشت کرون

مقادیر نسبت های X و Y با استفاده از نرم افزار SPSS برای توابع ریاضی زیر برآش داده شدند که نتیجه در جدول شماره (۳) برای آبراهه های بیست زیرحوضه آمده است.

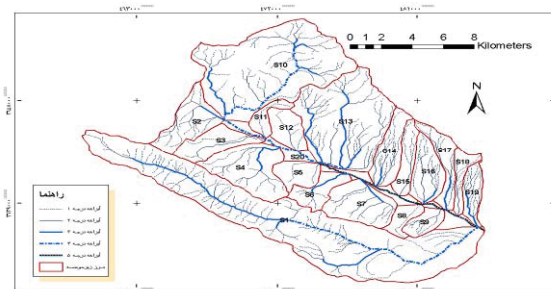
انواع توابع

تابع خطی $y = ax + b$ ، تابع توانی $y = ax^b$ ، تابع نمایی $y = ae^{bx}$ ، تابع لگاریتمی

با توجه به این که علاوه بر ضریب تبیین (β) بالاتر تابعی دارای برآش بهتری است که خطای کمتری داشته باشد، خطای توابع برای معادله رگرسیونی نیز برای بهترین برآش به عنوان معیار در نظر گرفته شده است. در این زمینه از خطای معیار برآورد استفاده شده که از این رابطه محاسبه می شود: (نیل جی، ۲۱۴، ۱۳۸۵)

$$f = \sum \{ |[y_i - f(X_i)]/y_i| \} / n \quad (1)$$

y_i = ارتفاع مشاهده شده در آبراهه در نقطه ویژه، $f(X_i)$ = ارتفاع برآورد شده، n = تعداد نمونه ها



شکل ۱- واحد های هیدرولوژیکی دشت کرون

۳- یافته ها و بحث

متوسط خطای £	تابع لگاریتمی $y = a + b \ln x$	تابع نمایی $y = ae^{bx}$	تابع توانی $y = ax^b$	تابع خطی $y = a x + b$	زیر حوضه
۰/۳	۰/۹۵۷	۰/۹۶۲	۰/۹۷۲	۰/۹۷۷	۱
۰/۵۶	۰/۹۶۲	۰/۸۸۸	۰/۹۶۸	۰/۹۰۳	۲
۰/۰۲	۰/۹۴۷	۰/۸۷۱	۰/۹۴۶	۰/۸۸۴	۳
۰/۵۶	۰/۹۸۹	۰/۸۸۷	۰/۹۹	۰/۹	۴
۰/۰۷	۰/۹۸۵	۰/۹۷۷	۰/۹۸۸	۰/۹۸۱	۵
۰/۳۵	۰/۹۵۶	۰/۹۱۷	۰/۹۶۲	۰/۹۲۹	۶
۰/۰۰۱	۰/۹۶	۰/۷۷	۰/۹۶۱	۰/۷۸۵	۷
۰/۴۱	۰/۹۷۴	۰/۹۷۳	۰/۹۸	۰/۹۷۸	۸
۰/۱۹	۰/۹۹	۰/۹۶۱	۰/۹۹۱	۰/۹۹	۹
۰/۴۴	۰/۹۸۷	۰/۹۲۸	۰/۹۹	۰/۹۳۹	۱۰
۰/۰۰۱	۰/۹۹	۱	۰/۹۹	۰/۹۹	۱۱
۰/۰۰۶	۰/۹۹	۱	۰/۹۹	۰/۹۹	۱۲
۰/۵۱	۰/۹۸۲	۰/۹۴۸	۰/۹۸۸	۰/۹۶	۱۳
۰/۳۶	۰/۹۸۷	۰/۹۷	۰/۹۹۱	۰/۹۷۶	۱۴
۰/۴	۰/۹۹۳	۰/۹۴۶	۰/۹۹۵	۰/۹۵۴	۱۵
۰/۴۱	۰/۹۵۱	۰/۹۷۲	۰/۹۵۶	۰/۹۷	۱۶
۰/۰۱	۰/۹۷۶	۰/۹۸۲	۰/۹۷۲	۰/۹۸۲	۱۷
۰/۰۰۲	۰/۹۴	۰/۹۸۷	۰/۹۴۴	۰/۹۸۵	۱۸
۰/۰۰۱	۰/۹۹	۱	۰/۹۹	۰/۹۹	۱۹
۰/۰۰۹	۰/۹۶۳	۰/۹۹۹	۰/۹۶۶	۰/۹۹۸	۲۰

جدول ۳- ضرایب حاصل از تحلیل رگرسیونی تحول دره در زیرحوضه های دشت کرون

مطابق جدول (۳) زیرحوضه ها با توجه به ویژگی تحول نیم رخ آبراهه ها در ۳ دسته طبقه بندی می شوند:

۱. زیرحوضه های S۲, S۳, S۴, S۵, S۶, S۷, S۸, S۹, S۱۰, S۱۳, S۱۴, S۱۵ که دره آبراهه اصلی آنها با تابع توانی برازش دارد.

۲. زیرحوضه های S۱۱, S۱۲, S۱۳, S۱۴, S۱۵, S۱۶, S۱۷, S۱۸, S۱۹, S۲۰ که دره آبراهه اصلی آنها با تابع نمایی برازش دارد.

۳. زیرحوضه S۱ که دره آبراهه اصلی آن با تابع خطی برازش دارد.

برازش دره ها با تابع توانی میین این است که دره در مرحله بلوغ قرار دارد و هنوز از نظر فرسایش به تعادل نرسیده است و آبراهه های جاری در این دره ها در بالادست دارای شبیهای تندر بوده و در مرحله فرسایش قرار دارند که در ادامه روند فرسایش مواد رسوبی را در بستر خود تا پایین دست حمل می کنند. از این نظر بستر چنین آبراهه هایی در بالادست پرشیب و نامنظم است که بخش عمده ای از مسیر آبراهه شامل همین نواحی مرتفع و پرشیب می شود.

برازش دره ها با تابع نمایی نشان از تحول یافته‌گی بیشتر دره ها دارد. در چنین دره هایی از شدت فرسایش در بالادست کاسته می شود زیرا چنین دره هایی در بالادست شبیهای نسبتاً ملایم تری دارند و از شدت بار رسوبی در طی مسیر آبراهه کاسته شده است.

برازش دره ها با تابع خطی نشان از تحول یافته‌گی بیشترده در مقایسه با دو تابع توانی و نمایی است. در این نوع دره ها تغییرات ناگهانی شبی در نیم رخ دره ها وجود ندارد و دره ها به حالت تعادل خود نزدیک شده اند و بستر آبراهه ها در مرحله نهشته گذاری قرار دارد.

۴- نتیجه گیری

از نظر بررسی نیم رخ آبراهه ها با مقایسه جدول (۱) با جدول (۳) مشخص می شود که آبراهه های زیرحوضه های S۲, S۳, S۴, S۵, S۶, S۷, S۸, S۹

که با تابع توانی برازش شده اند شبیه متوسطی بیش از ۱۰ درصد داشته اند و تغییرات ناگهانی شبی در آنها به چشم می خورد، بالادست آنها در سازنده های صخره ای با نفوذ پذیری کم و پوشش گیاهی ناچیز و فرسایش زیاد واقع است و درصد کمی ازان را خاک با نفوذ پذیری متوسط و پوشش

گیاهی در بر می گیرد. شیب این زیر حوضه ها نسبتاً زیاد است و بستری نامنظم دارند. این زیر حوضه ها در بخش جنوبی دشت بوده و در مرحله بلوغ یا بلوغ با گرایش به مرحله پیمی قرار دارند.

زیر حوضه های S1, S10, S11, S12, S13, S14, S15, S16, S17, S18, S19, S20

دارای آبراهه هایی با نیم رخ نسبتاً منظم تر هستند و تغییرات ناگهانی شیب در آنها کمتر به چشم می آید و این آبراهه ها با تابع نمایی برآش شده اند. این زیر حوضه ها به جز زیر حوضه S1 در بخش شمالی دشت قرار دارند. دو زیر حوضه S1۳ و S1۰ از کوههای نسبتاً مرتفع با قلل مدور، فرسایش نسبتاً شدید، متشكل از سنگها و تشکیلات سخت و خاک کم عمق و سنگلاخی می باشد که بر روی سنگها و مواد آهکی تشکیل شده است. نیم رخ آبراهه در این دو زیر حوضه با شیب متوسط ۵٪ تا ۱۰٪ است و بستر منظمی دارند. آبراهه های این دو زیر حوضه در بالادست، سنگهای سخت را بریده اند و با ساختمان زمین شناسی و سنگ شناسی انطباق ندارند و انواع دره های یالی را ایجاد کرده اند، نیم دیگر مساحت این زیر حوضه ها را ریاضی پوشیده از سنگریزه های زاویه دار می باشد و دارای خاک کم عمق با قابلیت نفوذ متوسط و بافت سطحی می باشد شیب و توپوگرافی و فرسایش نسبتاً زیاد در شکلهای شیاری و سطحی است (عطایی و شیران، ۹۵). (۱۳۹۰)

اما زیر حوضه S1 در بخش جنوبی دشت با تابع خطی برآش بیشتری داشته است، بیشترین مساحت این زیر حوضه مربوط به ارتفاعات آهکی و کوههای سنگی بدون خاک است. پوشش گیاهی به دلیل ضخامت کم خاک و شیب زیاد کم می باشد (حسینی، ۶۵، ۱۳۸۳) از نظر تحلیل ریاضی دره آبراهه با تابع خطی برآش شده است که نشان می دهد دره اصلی به حالت تعادل خود نزدیک شده است ولی کل زیر حوضه همچنان تحت تاثیر شدید فرسایش قرار دارد.

۵- مراجع

- [1] امیر احمدی، ابوالقاسم و شیران، مهندز، (۱۳۸۸)، کاربرد مدل HEC-HMS در تحلیل حساسیت متغیرهای موثر بر سیلاب دشت کرون، جغرافیا و توسعه، ۱۶، ۱۵۳-۱۷۳
- [2] بیاتی خطیبی، مریم، رجبی، معصومه، (۱۳۸۵)، تحلیل تحول ژئومورفولوژیکی نیم رخ طولی دره ها در نواحی کوهستانی، مطالعه موردی: یازده دره کوهستانی سهند، پژوهش های جغرافیایی، ۵۷، ۳۴-۵۹
- [3] حسینی، حسن، (۱۳۸۳)، بررسی لندرمهای آبی در دشت کرون، پایان نامه کارشناسی ارشد، درجه عالی، دانشگاه اصفهان، گروه جغرافیا.
- [4] رفاهی، حسینقلی، (۱۳۸۵)، فرسایش آبی و کنترل آن، انتشارات دانشگاه تهران، چاپ پنجم، تهران.
- [5] عطایی، هوشمند، شیران، مهندز، (۱۳۸۹)، شناسایی زیر حوضه های هیدرولوژیکی همگن از نظر عوامل ژئومورفولوژیک موثر بر سیلاب با استفاده از تحلیل خوشه ای (مطالعه موردی: دشت کرون)، جغرافیا و برنامه ریزی، ۴۲، ۷۹-۹۸
- [6] علیزاده، امین، (۱۳۸۳)، اصول هیدرولوژی کاربردی، ، انتشارات آستان قدس، چاپ هفدهم، مشهد.
- [7] مقیمی، ابراهیم، محمودی، فرج الله، (۱۳۸۳)، روش تحقیق در جغرافیای طبیعی، قومس، چاپ اول، تهران.
- [8] نیل جی، سلکایند، (۱۳۸۵)، کاربرد امار و SPSS در پژوهش های علوم انسانی، جلیل میرزا و علی بقایی سرابی، حفظ، تهران.

[9] Ohmori, H (1996) Morphological characteristics of longitudinal profiles of rivers in the South Island, New Zealand. University of Tokyo, Department of Geography. Tokyo, Japan.

[10] Stanford, S. D (1993) Late Cenozoic surficial deposits and valley evolution of unglaciated Northern New Jersey. Geomorphology. 7, 267-288.

[11] Selby, M. J (1985) Earth changing surface. Oxford.

تعیین پارامترهای آماری، مورفومتری و شیمیایی منطقه گندم بریان کرمان

^۱ عبدالحسین حاجی زاده، ^۲ زهرا مرادپور، ^۳ موسی آقاجانی، ^۴ سید کاظم علوی پناه

^۱ دانشجوی دکترای رئومورفولوژی دانشگاه تهران hajizadeh6331@gmail.com

^۲ دانشجوی کارشناسی جغرافیای رستایی دانشگاه تهران zahramoradpoor@ut.ac.ir

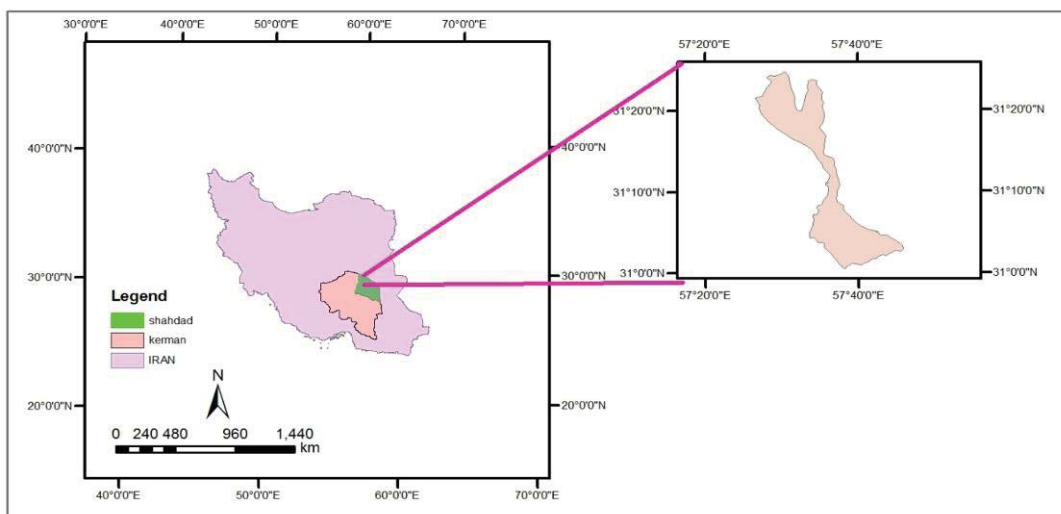
^۳ فارغ التحصیل جغرافیای طبیعی دانشگاه شهید بهشتی

^۴ استاد گروه کارتוגرافی دانشگاه تهران salavipa@ut.ac.ir

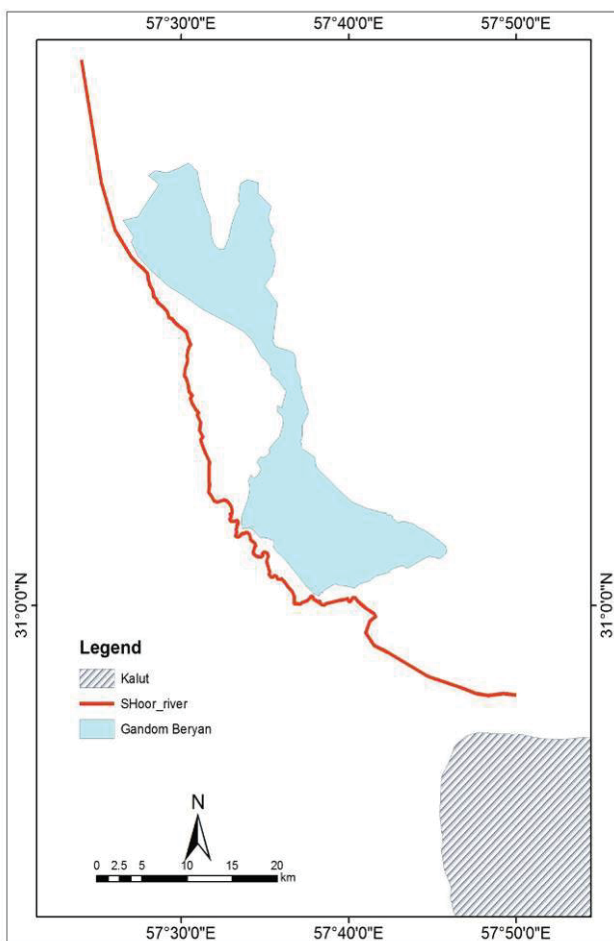
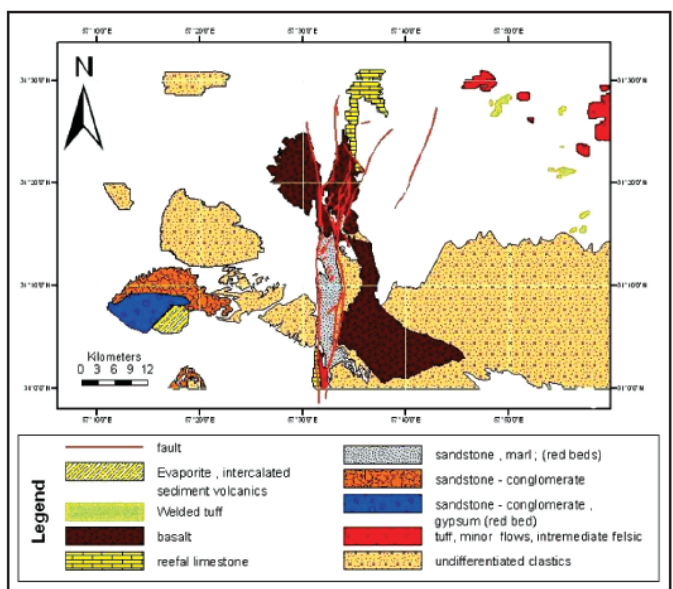
۱- مقدمه و منطقه مورد مطالعه

از مشخص‌ترین پهنه‌های بازالتی در لوت شمالی می‌توان به پهنه بازالتی گندم بریان اشاره کرد که گدازه‌های آن به ضخامت ۳ تا ۱۲ متر و با ارتفاع نسبی حدود ۴۰۰ متر مشرف به بستر رود شور بیرون گندم بریان به ویژه در نقاطی که ضخامت گدازه کاهش یافته، حفره‌های بی شمار آبی-بادی به وجود آمده‌اند فرایند تخریبی از نوع مکانیکی ناشی از دامنه زیاد حرارت روزانه، بازالتها را به صورت دانه‌های ریز متلاشی کرده و سپس این باد این دامنه‌ها را از محل خارج ساخته و به تدریج محل آن به صورت حفره در آمده اند. هرچند فعالیت ماقمایی لوت شمالی از کرتاسه پسین شروع شده است ولی عوارض فوق جدید (مریبوط به کواترنر) هستند و قله‌های آنها از میان رسوب‌های نفوذن سربازآورده‌اند. به نظر افتخار نژاد (۱۹۷۲) این فعالیت‌ها را حاصل فرورانش بلوک هلمند به زیر بلوک لوت می‌دانند. (علایی طالقانی، ۱۳۹۰) سرتخت گندم بریان در حاشیه جنوبی کویر لوت و در امتداد گسل نایبند به صورت دشتی پوشیده شده از گدازه‌های بازالتی است. این بازالتها را می‌توان به دو بخش شمالی و جنوبی تقسیم کرد. در بخش شمالی بازالت‌ها فرسایش بیشتری متحمل شده و در زیر رسوبات نفوذن قرار گرفته اند، بنابراین از نظر سنی باید از این رسوبات قدیمی تر به شمار آیند. در این بخش چهار مخروط آتش‌فشانی نیز خودنمایی می‌کنند که ارتباط آنها با بازالت‌ها چندان روش نیست. بخش جنوبی که دشت بازالتی را شامل می‌شود منطقه‌ای به وسعت تقریبی ۳۵۰ کیلومتر مربع پوشیده از گدازه‌های بازالتی است. این بازالتها به دلیل جوان بودن، دگرانی کمی متحمل شده اند و بر روی رسوبات نفوذن قرار گرفته اند و به طور مشخص از بازالت‌های بخش شمالی جوان‌تر هستند. قرارگیری جریانات بازالتی و مخروط‌های خروجی در امتداد گسل نایبند نقش گسل یاد شده را در خروج ماقما آشکار می‌سازد. (ریسی، ۱۳۹۱).

منطقه مورد مطالعه این تحقیق بخشی از دشت لوت تقریباً در شمال شهر شهداد و در شمال غربی کلوت‌ها در قسمت لوت شمالی می‌باشد. این منطقه دارای اقلیمی خشک و بیابانی می‌باشد این منطقه دارای اشکال رئومورفولوژیکی عمده‌ای می‌باشد که اکثرا تحت تاثیر بادهایی با جهت شمال غرب-جنوب شرق و با سرعت ۶ متر در ثانیه می‌باشد. بارش متوسط کمتر از ۱۰ میلیمتر است و دمای هوا بین ۱۱ تا ۴۰ درجه سانتیگراد می‌باشد. از نظر زمین‌شناسی این منطقه دارای کمرنندی روانده و چین خودگی می‌باشد و عمدتاً از رسوبات واریزه‌ای تخریبی نفوذن و از جنس مارن گچی و کنگلومرا می‌باشد (Mohajjel, 2009). مختصات جغرافیایی تقریبی مرکز $31^{\circ}4'N, 57^{\circ}37'E$ می‌باشد.



شکل ۱:
منطقه مورد مطالعه



شکل ۳: نقشه موقعیت گندم بریان نسبت به رودخانه شور و کلوت ها

شکل ۴: خاک ها، واریزه ها و دانه های سنگی در سطح و دامنه گندم بریان

شکل ۲: نقشه زمین شناسی منطقه گندم بریان (رییسی، ۱۳۹۱)

همان طور که در نقشه زمین شناسی نشان داده شده است جنس قسمت جنوبی گندم بریان از بازالت می باشد. دانه هایی حاصل فرسایش فیزیکی و شیمیایی سطح گندم بریان به صورت کوارتز و بازالت در سطح گندم بریان و در قسمت های دامنه ای آن به چشم می خورد که اندازه آنها در حد چند میلیمتر تا چند سانتیمتر می باشد. به علت گرمای بازالت، بعضی از خاک زیرسطحی دگرگون شده و به رنگ قرمز درآمده اند. در پای گندم بریان سنگ های با بعد سانتیمتر تا متر به صورت واریزه ای مشاهده شده است. (شکل ۴) در شکل ۳ موقعیت گندم بریان نسبت به رود شور و کلوت نشان داده شده است.



۲- مواد و روشها

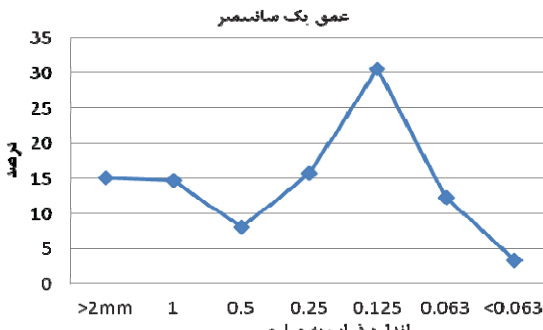
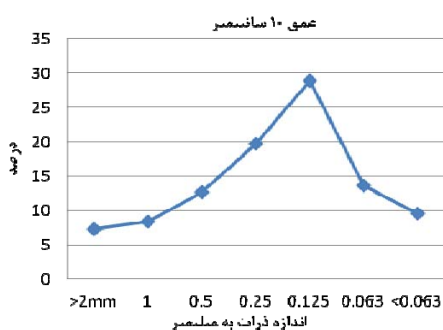
مطالعات میدانی و برداشت از لایه های مختلف گندم بریان با نمونه هایی به وزن ۱۰۰ گرم برداشت شد. سپس با استفاده از تجهیزات شیکر، کلسمیتر و شوری سنجی اقدام به تجزیه تحلیل نمونه ها نمود. در این تحقیق جهت آزمایش بر روی نمونه ها از مواد اسید کلریدریک، آب مقطر استفاده گردید و نتایج دانه سنجی در بخش های بعدی آورده شده است.

- ۳- یافته ها و بحث

درصد نمونه در عمق یک سانتیمتر	درصد نمونه در عمق ۱۰ سانتیمتر	اندازه ذره
15.135	7.235	بیشتر از ۲ میلیمتر
14.705	8.41	۲ میلیمتر
8.045	12.61	۱ میلیمتر
15.78	19.725	۰.۵ میلیمتر
30.655	28.895	۰.۲۵ میلیمتر
12.355	13.55	۰.۰۶۳ میلیمتر
3.405	9.55	کمتر از ۰.۰۶۳ میکرون

جدول ۱: درصد اندازه ذرات در سایزهای مختلف شیکر.

۱- آزمایش دانه سنجی: با توجه به آزمایش شیکر درصد اندازه ذرات محاسبه و در جدول ۱ آورده شده است. درصد ذرات گراول در عمق ۱۰ سانتیمتر حدود ۷ درصد و برای عمق ۱ سانتیمتر حدود ۱۵ درصد می باشد. درصد ذرات دانه متوسط یا ماسه برای عمق ۱۰ سانتیمتر ۹۳.۱۹ درصد و برای عمق یک سانتیمتر از سطح ۸۱.۵۴ درصد می باشد. برای ذرات دانه ریز (ذرات رس و سیلت) برای نمونه در عمق ۵ سانتیمتر ۹.۵۵ درصد و برای عمق یک سانتیمتر ۳.۴۰ درصد می باشد. نتایج جدول ۱ به صورت نمودار در اشکال ۵ و ۶ آورده شده است. در اشکال زیر نمودار افقی نشان دهنده اندازه ذرات و نمودار قائم درصد ذرات در سایزهای مختلف را نشان می دهد.



شکل ۶: نمودار فراوانی ذرات در عمق یک به درصد سانتیمتر با توجه به محاسبات آماری و طبق جدول ۲ و جدول فولک (۱۹۵۷) می توان گفت که جور شدگی ذرات فوق العاده ضعیف (≤ 0.063 سانتیمتر) است، می توان گفت اندازه ذرات از یکدیگر فاصله دارند. طبق جدول میزان کشیدگی (اهرمی پور، ۱۳۸۵) و جدول ۲، میزان کشیدگی نمونه عمق ۵ سانتیمتر ۱.۴ می باشد که به عنوان کشیده شناخته می شود و نمونه یک سانتیمتر برابر ۲.۴ می باشد که خیلی کشیده محسوب می شود.

جدول ۲: پارامتر های آماری نمونه ها

عمق یک سانتیمتر	عمق ۵ سانتیمتر	پارامتر
۲.۴	۱.۴	کشیدگی
۱.۱	۱.۳	کچ شدگی
۸.۵	۷.۷	انحراف معیار
۱۴.۲۹	۱۴.۲۸	میانگین

۲- مورفومتری گندم بریان با توجه به نتایج بدست آمده از تجهیزات GPS، ارتفاع تقریبی گندم بریان از سطح، حدود ۱۵۰ متر برآورده شده است و همچنین ارتفاع آن از سطح دریا تقریباً ۴۵۰ متر می باشد. مساحت گندم بریان که دارای جنس بازالت می باشد ۳۳۰ کیلومتر مربع می باشد. نمای گندم بریان از بیرون به صورت دیوار بلند و کشیده دیده می شود. در روی سطح گندم بریان در هر دو حلقه هایی با اختلاف ارتفاع حدود چند متر از سطح گندم بریان مشاهده شده است. (شکل ۷) در قسمت ورودی به سطح گندم بریان نیز دره هایی به ارتفاع حدود ۵ متر و عرض حدود دو متر مشاهده شد است. که در سطح آنها خاک های ماسه ای و گلی پوشیده شده است.



شکل ۷: وجود دره های با ارتفاع و عرض چند متر در قسمت سطح و میانی گندم بریان

۳- آزمایش کلسیمتری و شوری خاک:

جدول ۳: میزان درصد کربنات کلسیم و شوری خاک

درصد نمک	درصد کربنات	درصد کلسیم	عمق نمونه های برداشت شده	ردیف
۱		۳۰	یک سانتیمتر	۱
۱۶.۵		۱۷	۱۰ سانتیمتر	۲

در جدول روپرتو میزان درصد کربنات نمونه های یک و ده سانتیمتر براساس آزمایش کلسیمتری برنارد اندازه گیری شده است. در این جدول درصد آهک در عمق یک سانتیمتر بیشتر از عمق ده سانتیمتر می باشد. میزان شوری خاک در دو عمق یک و ده سانتیمتر گندم بریان در جدول روپرتو آورده شده است در این جدول همانطور که ملاحظه می شود از سطح به طرف عمق بر میزان شوری آن افزوده شده است.

۴- حیات زیست در گندم بریان:

با توجه به بازدید میدانی از منطقه، شواهدی از وجود موجودات زنده از قبیل سنجاقک، پروانه و مگس در منطقه بدست آمده است



شکل ۸: وجود موجودات زنده از قبیل پروانه، سنجاقک و مگس در منطقه (سنجداقک) به علت عدم دریافت عکس نمایش داده نشده است

نتیجه گیری

در تمام کره زمین می توان گفت با هر اقلیمی، موجود زنده ای مناسب با نوع اقلیم آن منطقه در حال زندگی می باشد که این مورد نیز در گندم بریان مشاهده شده است و نمی توان به قطعیت خبر از عدم وجود موجودات و گیاهان زنده در آن منطقه داد. با توجه به ویژگی های خاص منطقه می توان آن را به عنوان ساختگاه مطالعات علمی پیشنهاد نمود. همچنین برای دسترسی به اطلاعات دقیق تر نیاز به نمونه برداری بیشتر و استفاده از تجهیزات دقیق تر می باشد.

۵- مراجع

- [۱] اهرمی پور، رضا، حسین مصدق، مبانی رسوب شناسی، انتشارات دانشگاه علوم پایه دامغان، ۱۳۵۹
- [۲] علوی پناه، کاظم، بررسی متابع آب و رطوبت سطح اراضی کلوت های بیابان لوت با استفاده از داده های ماهواره ای، پژوهش های جغرافیایی، شماره ۱۳۸۳، ۴۷
- [۳] علایی طلقانی. محمود، رُوّمورفولوژی ایران، تهران، نشر قومی، ویرایش جدید، ۱۳۹۰
- [۴] خدابخش، سعید، صحرارو. ناهی، آزمایش های رسوب شناسی، انتشارات دانشگاه بولی سینا، ۱۳۹۲
- [۵] ریبیسی. داوود، درگاهی. سارا، معین زاده. حسام الدین، آروین. محسن، استفاده از مدل سازی عددی به منظور برآورد سرعت هسته بندی و زمان رشد میکرولیت های پلاژیوکلاز در روانه های بازالت کواترنری گندم بریان، شمال خاور کرمان، علوم زمین، سال ۲۲، شماره ۸۵، ۱۹۹-۲۰۴، ۱۳۹۱، صفحه ۱۹۹
- [6] Folk L. Robert, Ward C.William, Brazos River Bar: A Study in the significance of Grain size parameters, sedimentology petrology, Vol. 27, No. 1, 3-26, 1957
- [7] Ehsani, A. H., & Quiel, F. Application of Self Organizing Map and SRTM data to characterize yardangs in the Lut desert, Iran. Remote Sensing of Environment 112, 3284-3294. 2008
- [8] Mohajjel, M. Thin-skinned deformation near Shahdad, southeast Iran. Journal of Asian Earth Sciences 36., 2009

پایش جابجایی توده‌های ماسه‌ای در پس کرانه‌های ساحلی نمونه موردی: ساحل غربی جلگه مکران

^۱سیاوش شایان، ^۲مجتبی یمانی، ^۳محمد شریفی کیا، ^۴مهران مقصودی، ^۵محمد اکبریان

^۱استادیار گروه جغرافیا دانشگاه تربیت مدرس shayan@modares.ac.ir

^۲دانشیار گروه جغرافیای طبیعی دانشگاه تهران myamani@ut.ac.ir

^۳استادیار گروه جغرافیا دانشگاه تربیت مدرس sharifkia@modares.ac.ir

^۴دانشیار گروه جغرافیای طبیعی دانشگاه تهران maghsoud@ut.ac.ir

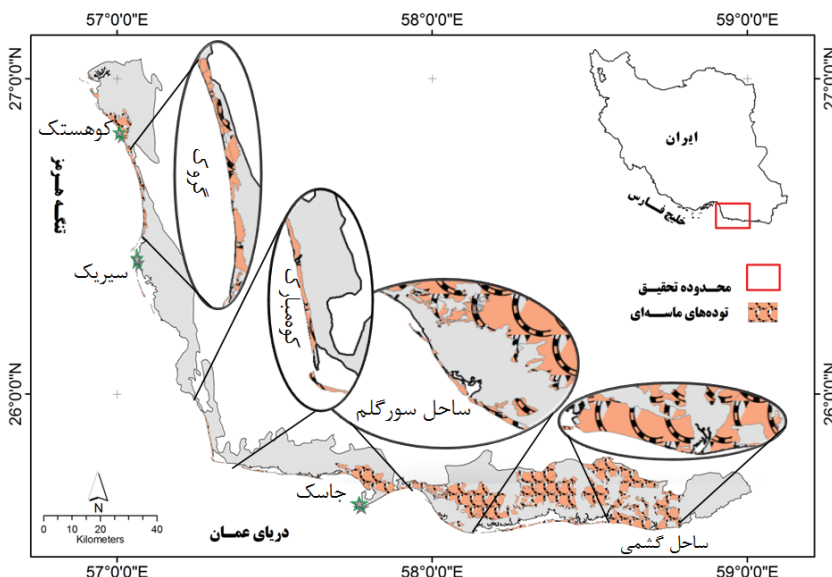
^۵دانشجوی دکتری ژئومورفولوژی، دانشگاه تربیت مدرس m.akbarian@modares.ac.ir

مقدمه و منطقه مورد مطالعه

تپه‌های ماسه‌ای در سواحل اکثر دریاها و اقیانوسها به وجود می‌آیند. این تپه‌ها زاییده کنش متقابل امواج دریا، جریانات دریایی، وزش باد و مواد رسوبی موجود در ساحل می‌باشند. علاوه بر محدوده‌های جزرومتدی، بستر رودها، سطوح دلتائی و پهنه جلگه ساحلی نیز می‌تواند منشأ توده‌های ماسه‌ای محسوب شود. بخش عمده رسوبات حوضه‌های آبخیز مشرف به ساحل، توسط رودخانه‌ها به دریا منتقل شده و ممکن است دوباره طی فرایندهای دریائی به خشکی بازگشته و در معرض رفت و روب بادی قرار گیرند. در چند دهه اخیر مطالعات زیادی روی ماسه‌های روان صورت گرفته است علت توجه به این مسئله ناپایداری و تحرك تپه‌ها در اثر فعالیت باد و به دنبال آن بر هم خوردن تعادل منطقه و مشکلاتی است که به دنبال آن ایجاد می‌گردد. در زمینه فرایندهای بادی حمل ذرات نیز مطالعات فراوانی انجام شده است (Bagnold, 1941; Chepil and Woodruff, 1963; Greeley and Iversen, 1985). فرایندهای بادی برای انجام عملیات خود به شرایط خاصی نیاز دارند و عملکرد مؤثر آن‌ها بستگی به مساعدت محیط طبیعی دارد (چورلی و همکاران، ۱۳۷۹). نواحی خشک و ساحل دریاها مساعدترین قلمرو عملکرد باد هستند (محمودی، ۱۳۸۹)؛ حال اگر سواحل دریا منطبق با مناطق خشک اقلیمی باشد، آثار فرسایش بادی و فرایندهای آن پیچیدگی بیشتری خواهد داشت.

در جلگه‌های ساحلی، گستردگی امواج طوفانی و قطر ذرات بستر از مهمترین ویژگی‌های است که بر میزان فرسایش تپه‌های ماسه‌ای تأثیرگذار است. اگر امواج طوفانی کوتاه‌تر، ارتفاع موج کمتر، دوره بازگشت امواج کوتاه‌تر، زمان وزش طوفان کمتر و قطر ذرات ماسه درشت‌تر باشد، فرسایش تپه‌های ماسه‌ای ساحلی کاهش می‌یابد (Rijn, 2013). یکی از عواملی که باعث حرکت ماسه از ناحیه جزر و مدی به کرانه ساحلی می‌شود، نسیم دریا به خشکی است. نسیم دریا در سواحل شمالی خلیج فارس علاوه بر اختلاف پهنه دریا و خشکی، از توپوگرافی سطحی و دوری و نزدیکی ارتفاعات به دریا نیز تعیت می‌کند (شمسی‌پور و همکاران، ۱۳۸۳). یمانی (۱۳۷۸) در مطالعه حرکات آب دریایی عمان در تشکیل و تکامل تالاب‌های جزر و مدی (در سواحل مکران) به این نتیجه رسید که رسوبات منتقل شده توسط رودها به خط ساحل، توسط امواج مایل جنوب‌شرقی در طول خط ساحل به سمت مغرب حرکت کرده و باعث تشکیل پیکان‌های ساحلی و در نهایت تشکیل تالاب‌های جزر و مدی می‌شود. محمودی (۱۳۸۱)، مجموعه ماسه‌های سواحل عمان را به دو بخش متمایز شامل ماسه‌های ساحلی و ماسه‌های بادی تقسیم نمود، از دید او ماسه‌های ساحلی بدون استثناء به صورت رشته‌های عرضی و موازی با ساحل شکل می‌گیرند؛ ماسه‌های بادی حاصل کند و کاو بادهای محلی و فصلی در رسوب‌های تخریبی و فوق العاده ریزدانه سیلاب‌های فصلی و اتفاقی جلگه ساحلی اند. غریب‌رضا و معتمد (۱۳۸۳) در بررسی تغییرات تپه‌های ماسه‌ای ساحلی استان سیستان و بلوچستان با استفاده از مقایسه عکس‌های هوایی ۱۳۴۶ و ۱۳۷۷ و پیمایش صحرائی، به این نتیجه رسیدند که تپه‌های ماسه‌ای عرضی، مرکب، پناهگاهی و پهنه‌های ماسه‌ای به علت تبادل رسوب بین دریا و ساحل، رویش گیاهان در کثیر رودخانه‌ها و حرکت به سمت مرکز بیابان، رشد کرده و تپه‌های ماسه‌ای طولی، برخان و تپه‌های گبیدی، به لحاظ فرسایش بادی و تغییر شکل به انواع دیگر، چهار کاهش شده‌اند. یمانی (۱۳۷۸) در مطالعه ارتباط ویژگی‌های باد محلی و مورفولوژی تپه‌های ماسه‌ای جلگه مکران، به این نتیجه رسید که تراکم شکل‌های ماسه‌ای تا حد زیادی به پهنه‌ی نوار ساحلی بستگی دارد، بنابراین تراکم توده‌های ماسه‌ای در ساحل جنوبی بیشتر از ساحل غربی است؛ همچنین تراکم توده‌های ماسه‌ای در طول خط ساحل با حرکات آب دریا بی ارتباط نیست. نگارش (۱۳۸۵)، در مطالعه ژئومورفولوژی خورتنگ و ویژگی‌های آن بر اساس تجربیات میدانی و مشاهدات عینی، عنوان کرد که تپه‌های ماسه‌ای ساحلی منطقه، بر اثر توفان‌های شدید دریائی که جهت غالب آنها جنوب‌غربی- شمال شرقی است به وجود آمدند؛ این تپه‌ها منشأ دریائی دارند و دارای پوسته خرد شده صدف‌های دریائی هستند.

منطقه تحقیق در استان هرمزگان، سواحل شرقی تنگه هرمز و شمال دریای عمان واقع شده است. مختصات جغرافیائی آن $54^{\circ} 56' \text{ تا } 59^{\circ} 19'$ طول شرقی و $21^{\circ} 25' \text{ تا } 27^{\circ} 09'$ عرض شمالی است. وسعت این منطقه ۳۶۶۸۷۹ کیلومتر مربع معادل ۱ هکتار می‌باشد. شکل ۱ موقعیت محدوده تحقیق را نشان می‌دهد. محدوده تحقیق، در واحد رئومورفولوژی جلگه‌های کناره‌ای جنوب، جلگه شمال دریای عمان و از نظر زمین‌شناسی در زون مکران قرار دارد؛ این زون از رسوبات بستر دریا، سنگ‌های آفیولیتی و رسوبات آب‌های سطحی تشکیل گردیده است.



شکل ۱: موقعیت جغرافیائی منطقه تحقیق و پراکنش جغرافیائی توده‌های ماسه‌ای در نوار ساحلی و سطح جلگه

هدف اصلی این مقاله، معرفی شیوه‌ها و ابزارهای پایش جابجایی مواد منفصل (توده‌های ماسه‌ای) در نواحی پس‌کرانه ساحلی است؛ این هدف با شناسایی ویژگی‌های رئومورفولوژیکی توده‌های ماسه‌ای و محل‌های استقرار آنها، و نیز شناسایی فرایندهای مؤثر بر تشکیل و جهت نقل و انتقال آنها در بخش غربی جلگه ساحلی مکران به عنوان محدوده مورد مطالعه، همراه می‌باشد.

مواد و روشها

توزيع فضایی لندرم‌ها و ویژگی‌های مورفومتری آن‌ها شامل مساحت، جهت کشیدگی فرم‌های ماسه‌ای و سرعت و جهت باد، ویژگی‌های رسوب‌شناسی از جمله شاخص‌های گرانولومتری و مورفوسکوپی رسوب، داده‌های این تحقیق می‌باشند. نقشه‌های توپوگرافی، نقشه‌های زمین‌شناسی، عکس‌های هوایی، تصاویر ماهواره‌ای، GPS، بینوکولر و نرم‌افزارهای رایانه‌ای از جمله View WRPLOT و Arc GIS مورد تحقیق هستند.

پس از مطالعات کتابخانه‌ای و جمع‌آوری کتاب‌ها، اسناد، مدارک و نقشه‌های مورد نیاز، مطالعه در گام‌های زیر پیگیری شد:

گام اول: در این مرحله از تحقیق، علاوه بر بررسی ویژگی‌های عمومی منطقه، نقشه محدوده پراکنش توده‌های ماسه‌ای نیز تهیه شد. گام دوم: با استفاده از داده‌های ایستگاه‌های هواشناسی منطقه، درصد وزش نسیم دریا به خشکی و سرعت و جهت باد تعیین و گلبداهای سالانه ترسیم شد. گام سوم: دبی آب و رسوب رودخانه‌های اصلی محدوده تحقیق به کمک گردآوری نتایج سایر مطالعات و نیز آمار ایستگاه‌های هیدرومتری سازمان آب منطقه‌ای جمع‌آوری شده، تغییرات ماهانه دبی رودهای اصلی منطقه بررسی شد. گام چهارم: ابتدا نتایج مطالعات سایر محققین گردآوری گردید. سپس طول بادگیر جهات مختلف در ایستگاه‌های فرضی گشمنی (100 کیلومتری شرق جاسک)، سدیج، سورگلم، جاسک شرقی، جاسک غربی، کوهبارک، سیریک و کوهستک (شکل ۱)، به کمک نرم‌افزار گوگل ارث اندازه‌گیری شد. پراکنش این ایستگاه‌ها به نحوی انتخاب شد که علاوه بر توده‌های ماسه‌ای ساحلی، معرف تغییرات جهت ساحل و دماغه‌های ساحلی نیز باشد.

ارتفاع امواج به کمک معادله‌های مولیتور ۱ (Senturk, 1995) برای طول بادگیر کمتر از 32 کیلومتر، بیشتر از 32 کیلومتر و سواحل اقیانوسی محاسبه شد. Z_d : ارتفاع موج به متر، L : سرعت باد به کیلومتر بر ساعت و F : طول بادگیر به کیلومتر می‌باشد.

$$(1) \quad F < 32 \text{ kms} \quad Z_d = 0.0032(UF)^{\frac{1}{2}} + 0.75 - 0.27F^{\frac{1}{4}}$$

$$(2) \quad F > 32 \text{ kms} \quad Z_d = 0.0032(UF)^{\frac{1}{2}}$$

¹ Molitor

$$\text{سواحل، اقیانوس} = 0.0024(\text{H})^2 \quad (3)$$

ارتفاع موج محاسبه شده از معادله های مونیتور در فایل ورودی نرم افزار WRPlot View در ستون سرعت باد جایگزین گردید. با استفاده از داده های باد ایستگاه های سینوپتیک جاسک و کلیماتولوژی سیرک، گل موج های ساحلی در برنامه WRPlot View ترسیم شد. گام پنجم: با استفاده از نقشه لندفرم ها و مورفولوژی عمومی تراکم های ماسه ای تهیه شده در گام اول، محدوده های نمونه گیری رسوب تعیین شد. ۴-۶ نمونه از توده های ماسه ای ساحلی و به موازات آنها یک نمونه از محدوده های جزر و مدتی منتهی به توده های ماسه ای برداشت شد. در مورد توده های ماسه ای گسترش یافته بر روی سطح جلگه نیز از انتهای ماناطق رسوب به عنوان نقطه شروع، به سمت قطاع برداشت که در گام های اول و دوم تعیین شدند، حداقل سه نمونه از خاک سطحی به عمق ۳ سانتی متر در هر خط نمونه گیری برداشت شد. نمونه ها به آزمایشگاه فرستاده شده و پس از تفکیک با الکه ای استاندارد ASTM، شاخص های گرانولومتری شان در نرم افزار Gradistat محاسبه گردید. برای تعیین سرعت آستانه برداشت رسوبات توسط باد، از روش دانه بندی رسوب استفاده شد. در این روش از ارتباط بین قطر ذرات خاک و سرعت بحرانی یا سرعت آستانه فرسایش بادی استفاده می شود (Zachar, 1982). برای این منظور قطر غالب ذرات رسوب از منحنی های دانه سنجی به دست آمد.

یافته ها و بحث

۱-۳- بررسی ویژگی های منطقه و تفکیک فرم های ماسه ای

نتایج بررسی فرم های ماسه ای نشان داد که پراکنش نهشته ها و فرم های ماسه ای بادی در سطح جلگه جنوبی بیشتر از جلگه غربی است. بارخان، بارخانوئید، سیف، نبکا (ربدو) و پیکان های ماسه ای از مهم ترین اشکال ماسه ای این محدوده می باشد.

۲-۳- مطالعات باد و گرانولومتری رسوب

جمع بندی نتایج بدست آمده از مطالعات باد و مورفولوژی تپه های ماسه ای بیانگر وقوع باد های شدید از قطاع غربی در محدوده مطالعاتی است؛ همچنین وجود بادهای مقابله هی منجر به شکل گیری تپه های عرضی از نوع بارخانوئید در منطقه شده است. مطالعات دانه سنجی برای اکثر نمونه ها عامل حمل آبی - رودخانه ای و در موارد نادری، حمل بادی کم را نشان می دهد؛ بافت سطحی دانه های کوارتز نیز عمده ای در خشان تا هاله است که نشان دهنده حمل آبی (اعم از رودخانه ای و دریائی) در بخش عمده مسیر حمل رسوب و حمل بادی کم (نزدیک بودن منبع رسوب) می باشد. نمونه های رسوب برداشت شده از نهشته های ماسه ای سطح جلگه جنوبی عمده ای از کلوخه های مارنی، کلسیت، ژپس، کوارتز و بعضی هایی تشکیل شده و مطلقاً فاقد خرده صدف هستند. سایر نمونه ها که از محدوده های جزر و مدتی و یا کرانه ساحلی برداشت شده اند علاوه بر اینکه فاقد کلوخه مارنی اند، دارای خرده صدف هستند.

سرعت آستانه برای برداشت و انتقال رسوب از پیش کرانه جزر و مدتی، ۷/۲۱ متر بر ثانیه و در سطح جلگه حدود ۶ متر بر ثانیه است. مطالعه آمار باد نشان می دهد که درصدی از نسیم دریا (بسته به روز، ماه و فصل سال) سرعتی کمتر از آستانه برداشت رسوب داشته و قاعده ای رسوبی به پس کرانه حمل نمی کند؛ درصد باقیمانده (کمتر از ۰/۵ درصد از ۸/۲ درصد از ۱۹/۸ درصد از ۰/۷۵ درصد از ۰/۰ درصد در ساحل غربی) نیز عمده ای سرعتی کمتر از ۱۱ متر بر ثانیه دارد که در صورت از دست دادن سرعت، رسوبات محموله را سریعاً بر جا گذاشته و صعود می کند. در مناطقی مانند حاشیه شمالی دماغه کوه مبارک و پس کرانه گروک که عرض جلگه بسیار محدود است، اثر این فرایند را در ترکیب با باد کوه - دشت به خوبی می توان دید؛ در چنین مناطقی، توده های ماسه ای صرفاً به نوار باریک حاشیه ساحل محدود شده اند (شکل ۱).

۳-۳- تحلیل گل موج های ساحلی و تلفیق نتایج آن با نتایج هیدرودینامیک رودخانه ها

از ماه اکتبر تا پایان ماه مه، رسوباتی که در محدوده ساحل جنوبی توسط رودهای سدیج، گابریک و جگین وارد دریا می شند، توسط امواج قطاع جنوب غربی به سمت شرق رانده می شوند. با توجه به انتشار خط ساحلی در منتهی ایله شرقی منطقه از رانش رسوب به سمت شرق کاسته شده و در عوض امواج جزر و مدتی موجب رانش رسوبات به ساحل شده اند. اگرچه از ماه ژوئیه تا پایان سپتامبر، امواج قطاع جنوب شرقی رانش رسوب به سمت غرب را سبب می شوند، به دلیل کاهش یا فقدان ورودی رسوب رودخانه ها از ساحل، حجم توده های ماسه ای در غرب رودخانه جگین، نسبت به بخش شرقی بسیار محدود تر می باشد.

در ساحل کوه مبارک، از ماه اکتبر تا پایان ماه ژوئن، امواج قطاع غربی غالب هستند. این امواج باعث رانش رسوبات وارد به دریا توسط رودهای رودخانه های منطقه به سمت جنوب تا ساحل کوه مبارک و سپس در جهت شرقی به سمت جاسک می شوند؛ لیکن با کاهش سریع فرکانس امواج غربی و افزایش فرکانس امواج قطاع جنوب شرقی از ماه ژوئیه تا پایان سپتامبر و به لحاظ قدرت زیاد این امواج، رسوبات رانده شده به سمت جاسک مجدداً جهت غربی به خود گرفته، پس از گذر از دماغه کوه مبارک، توده ماسه ای ساحلی این محدوده را ایجاد نموده اند. به نظر می رسد با توجه به کوتاه بودن فصل وزش امواج قطاع جنوب شرقی، نهایت رانش رسوب تا سواحل کوه مبارک باشد.

در ساحل سیریک و کوهستک، در اغلب ماههای سال غلبه با امواج قطاع جنوب‌غربی است، این امواج ضمن اینکه باعث رانش بخشی از رسوبات وارد به دریا توسط رودخانه‌ها به سمت شمال می‌شوند، از رانش جنوبی رسوبات وارد به دریا توسط رودخانه شمالی منطقه نیز جلوگیری می‌کنند. شکل‌گیری توده ماسه‌ای وسیع در منتهی‌الیه شمال غربی محدوده و کشیدگی آن به سمت جنوب را می‌توان تا حدودی نتیجه این فرایند دانست.

۴- نتیجه گیری

اگرچه امواج دریای عمان، عمده‌تاً جنوبی تا جنوب‌شرقی و در تنگه هرمز عمده‌تاً غربی تا جنوب غربی است و حرکت عمومی جریان‌ها نیز پاد ساعت‌گرد می‌باشد؛ به دلیل انحنای خط ساحلی و طول بادگیرهای متفاوت، گل‌موج‌های ساحلی در نقاط مختلف کاملاً متفاوتند. این تفاوت و نیز آورد رسوب رودخانه‌ای در ماههای خاصی از سال، باعث شده است که امواج با رانش رسوب در جهات مختلف، بر مکان گزینی توده‌های ماسه‌ای ساحلی به شکل فعلی تأثیر بگذارند. همچنین از آنجا که پیش‌کرانه‌های جزر و مدى منتهی به خورها و تالاب‌های ساحلی، از دسترس امواج و انتقال رسوب توسط آنها دور بوده‌اند، پس کرانه آنها عموماً فاقد توده‌های ماسه‌ای ساحلی است. نسیم دریا ماسه‌های برداشت شده از پیش‌کرانه جزر و مدى را در فاصله کمی از ساحل و به موازات خط ساحلی بر روی پس‌کرانه خشکی بر جای می‌گذارد. در مناطقی که عرض جلگه بسیار محدود است، توده‌های ماسه‌ای صرفاً به نوار باریک حاشیه ساحل محدود شده‌اند. در ساحل جنوبی، توده‌های ماسه‌ای علاوه بر کرانه ساحلی، بر سطح جلگه نیز گسترش زیادی یافته‌اند. حضور لندرفلرهای نظیر دنق، پوسته‌های شلجمی و کلوتک در حدفاصل پس‌کرانه‌های ماسه‌ای با توده‌های ماسه‌ای بالادست جلگه، نشان‌دهنده این مطلب است که حداقل بخشی از منابع رسوب آن‌ها از کاوشن سطح جلگه توسط باد تأمین می‌شود و آورد رسوب ساحلی از محدوده جزر و مدى در تأمین منابع رسوب این توده‌ها نقش تمام ندارد. از این نظر نهشته‌های ماسه‌ای محدوده تحقیق به دو دسته تقسیم می‌شوند: ۱- نهشته‌های ماسه‌ای کرانه ساحلی با منشأ آبی: دانه‌های ماسه پس از حمل آبی و شستشو توسط امواج از دریا خارج شده و به فاصله نزدیک از کرانه جزر و مدى نهشته شده‌اند و ۲- توده‌های ماسه‌ای داخلی: هر چند آب عامل حمل در بخش عمدۀ مسیر می‌باشد، عدم وجود خردۀ صدف‌ها و حضور کلوخه‌های مارنی حاکی است که این توده‌ها حاصل کند و کاو باد در سطح جلگه‌اند.

۵- مراجع

- ۱- چورلی، ریچارد جی، ترجمه: احمد معتمد، ۱۳۷۹، زئومورفولوژی جلد سوم(فرایندهای دامنه‌ای، آبراههای، ساحلی و بادی)، انتشارات سمت، ۴۵۵ ص
- ۲- شمسی‌پور، علی‌اکبر، سمیه زارع و رضا رئیسی، ۱۳۸۳، ساز و کار شکل‌گیری نسیم دریا در سواحل شمالی خلیج فارس، دهمین همایش ملی خلیج فارس
- ۳- غریبرضا، محمد و احمد معتمد، ۱۳۸۳، بررسی تغییرات تپه‌های ماسه ای ساحلی استان سیستان و بلوچستان (از سال ۱۳۷۲ تا ۱۳۴۶)، فصلنامه پژوهش‌های جغرافیایی، شماره ۵۰، ۴۸-۳۵
- ۴- محمودی، فرج‌الله، ۱۳۸۱، پراکنده‌گی جغرافیائی ریگزارهای مهم ایران، مؤسسه تحقیقات جنگل‌ها و مراتع، ۱۸۸ ص
- ۵- محمودی، فرج‌الله، ۱۳۸۹، زئومورفولوژی دینامیک، دانشگاه پیام نور، ۲۸۱ ص
- ۶- نگارش، حسین. ۱۳۸۵، زئومورفولوژی خورتنگ و ویژگی‌های آن، مجله جغرافیا و توسعه، ۸۸-۶۹
- ۷- یمانی، مجتبی، ۱۳۷۸، اثر حرکات آب دریای عمان در تشکیل و تکامل تالاب‌های جزر و مدى، پژوهش‌های جغرافیائی، شماره ۳۷، ۳۷-۱۹
- ۸- یمانی، مجتبی، ۱۳۷۸، ارتباط ویژگی‌های باد محلی و مورفولوژی تپه‌های ماسه‌ای جلگه ساحلی مکران، فصلنامه تحقیقات جغرافیائی، شماره مقاله ۹۶-۱۰۶، ۴۶۶
- 9- Bagnold, R.A., 1941. The Physics of Blown Sand and Desert Dunes. Methuen, London. 265p.
- 10- Chepil, W.S., Woodruff, N.P., 1963. The physics of wind erosion and its control. Advances in Agronomy 15, 211–302.
- 11- Greeley, R., Iversen, J.D., 1985. Wind as a Geological Process on Earth, Mars, Venus and Titan. Cambridge Planetary Science Series. Cambridge University Press, Cambridge.
- 12- Rijn, Leo C. van. 2013. EROSION OF COASTAL DUNES DUE TO STORMS, www.leovanrijn-sediment.com
- 13- Senturk, F., 1995. Hydraulics of Dams and Reservoirs, Google eBooks online preview.
- 14- Zachar, D. 1982. Soil erosion. Developments in Soil Science 10. Amsterdam: Elsevier Scientific. 547 pp.

الگوی رسوب گذاری در انهر شهربی و نقش آن در آب‌گرفتگی

(مطالعه موردی منطقه ۱۱ تهران)

مریم جابری

کارشناس مسئول HSE شهرداری تهران، jaberi.mary@gmail.com

مقدمه و منطقه مورد مطالعه

در مناطق شهری که سطح زمین توسط ساختمان، پیاده رو و آسفالت پوشیده شده است، باران و آب ناشی از ذوب برف امکان نفوذ در خاک را نمی‌یابد و در شبکه رواناب‌های سطحی شهری جاری و از شهر خارج می‌گردد. روش‌های کلاسیک در مدیریت رواناب‌ها، بیشتر مبنی بر استفاده از شبکه جمع آوری آب‌های سطحی می‌باشد ولیکن روش‌های جدید با یکپارچه نگری سیستم زهکشی و جمع آوری آب‌های سطحی، سعی در مدل سازی هیدرولوژیکی و مسیر یابی برای جریان‌های سطحی دارد. با این وجود، مدل سازی سیلاب‌های سطحی در محیط‌های شهری به دلیل وجود شمار زیادی از موانع با اشکال و مقیاس‌های طولی متفاوت، ژئومتری پیچیده شهر، ساختمان‌های متفاوت و غیره کاری چالش برانگیز است (Mignot et al. 2006).

حجم گستره عملیات عمرانی و ساختمانی در سطح شهر تهران سبب گردیده تا انهر شهری همواره از بار رسوبی قابل ملاحظه‌ای برخوردار باشند که نهشته گذاری این رسوبات در شبکه رواناب شهری موجب شده تا لاپرواژی نمودن انهر شهری همواره یکی از چالش‌های مدیریت شهری تهران باشد. در موقع بارانی که حجم آب بیش از ظرفیت شبکه می‌باشد، یا در اثر مسدود شدن توسط تجمع زباله‌ها، پیامد آب‌گرفتگی انهر و جاری شدن آب بر سطح شبکه معابر شهری می‌باشد. این پدیده که با آلوده شدن آب به مواد سمی بسیاری همراه می‌باشد، با نفوذ به خاک و آلوده نمودن آب‌های زیرزمینی و با ریختن به رودخانه‌ها و دریاچه‌ها موجب نایابی اکوسیستم طبیعی را فراهم می‌سازد. همچنین، جاری شدن مقطعی آب بر سطح شهر علاوه بر به آلوده نمودن محیط زیست شهری، امنیت تردد شهر و ندان را نیز دچار چالش می‌نماید. از این رو، با توجه به ایجاد مشکلات عدیده‌ای که در سال‌های اخیر برای مدیریت شهری تهران ایجاد نموده است، هدایت رواناب‌های شهری و لاپرواژی انهر، در قالب طرح‌های مختلف جهت برنامه‌ریزی و اجرا در دستور کارهای معاونت‌های فنی و عمران و فضای سبز و امور شهری شهرداری تهران قرار گرفته است.

منطقه ۱۱ شهرداری تهران با مساحت ۱۲۰۰ کیلومتر مربع در مرکز شهر تهران واقع شده است. طول کانیو‌ها و انهر در این منطقه ۵۰ کیلومتر می‌باشد که با توجه به مساحت منطقه و تراکم بالای جمعیت (۲۲۶۶۹ نفر/کیلومتر مربع)، تراکم شبکه جمع آوری آب‌های سطحی در این منطقه از وضعیت خوبی برخوردار می‌باشد به گونه‌ای که در هنگام بارندگی، آب‌های سطحی به خوبی جمع آوری و هدایت می‌گردد. با این حال مطالعه بیش از ۳۰ نقطه آبگیر در سطح منطقه و پیاده سازی آن بر روی سامانه اطلاعات جغرافیایی (GIS) و تحلیل آن نشان داد که تمام میادین و اکثر تقاطع‌ها با مشکل آب‌گرفتگی همراه هستند که در ادامه به بررسی آن پرداخته می‌شود.

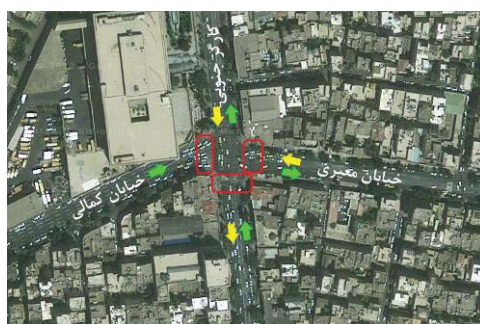
مواد و روش‌ها

به منظور مدیریت نقاط آبگیر در سطح منطقه ۱۱، نقاط آبگیر و بحران ساز منطقه ۱۱ بر اساس مشاهدات محلی، پیام‌های ۱۳۷ و ۱۸۸۸ شناسائی گردید و در سامانه اطلاعات جغرافیایی (GIS) پیاده گردید. بررسی‌ها نشان داد که اصلی‌ترین علت گرفتگی انهر عدم کشش نهر (۰.۶۳٪)، شیب بندی نامناسب (۲۰٪) و گرفتگی نهر (۱۷٪) می‌باشد.

یافته‌ها و بحث

در شهرها بسیاری از جریان‌های سطحی از خیابان‌ها و تقاطع‌ها عبور می‌کنند، به دلیل تغییر در توزیع جریان، عمق آب به حداقل می‌رسد، از این رو، در محل تقاطع‌ها جریان آب به حالت بحرانی می‌رسد (Mignot et al.2006). جریان آب بر سطح خیابان‌ها با لغزندۀ نمودن مسیر و کاهش مقاومت ترمز ماشین و نیز پاشیده شدن آب و کاهش دید راننده، سبب دشواری هدایت وسیله نقلیه می‌گردد. این‌مانی عابر پیاده نیز می‌تواند تحت تأثیر ترکیبی از عمق آب و سرعت آن مورد تهدید قرار گیرد (Despotovc et al.2008). از این رو، مدیریت رواناب شهری یکی از مهم‌ترین دغدغه‌های مدیریت شهری می‌باشد.

به دلیل تعدد عملیات عمرانی و حفاری‌های بسیار و نیز عملیات ساختمانی در اکثر معابر شهری و همچنین نحوه نامناسب عملیات پاکیزگی پیاده رو‌ها که عمدتاً همراه با جارو نمودن خاک و ریختن آن به انهار شهری همراه است. لذا رواناب‌های شهر تهران همواره با حجم عظیمی از رسوبات عمدتاً ریزدانه همراه هستند، که به محض برخورد با مانع (درختان، زباله گیرها، مبلمان شهری و غیره) یا کاهش شبیب بستر شروع به نهشته گذاری می‌نمایند که سبب کاهش ظرفیت نهر و ایجاد پدیده آب‌گرفتگی می‌گردد. پیاده سازی نقاط آب‌گرفتگی و بررسی الگوی فضایی آن در منطقه ۱۱ نشان داد که تقریباً اکثر نقاط آبگیر منطبق بر تقاطع‌ها می‌باشند، که خیابان‌های شریانی ولیعصر و کارگر جنوبی به دلیل وجود تقاطع‌های بسیار، دارای بیشترین نقاط بحرانی در این زمینه می‌باشند. در حالی که خیابان وحدت اسلامی کمتر با این پدیده روبرو است. مطالعه تقاطع‌های خیابان کارگر جنوبی و ولیعصر در منطقه ۱۱ نشان داد که این معابر با شبیب متوسط ۱/۷ درصد با شبیب شمالی-جنوبی به صورت متقاطع شبکه انهار شرقی-غربی را قطع می‌نمایند. همان‌گونه که می‌دانیم جریان رواناب متأثر از شبیب بستر می‌باشد. شهر تهران به دلیل بهره‌مندی از تنوع توپوگرافیکی، دارای اختلاف شبیب قابل ملاحظه‌ای است. بنابراین، رواناب‌های با جهات شمالی-جنوبی نسبت به انهار شرقی-غربی (افقی) دارای شبیب بیشتر و در نتیجه شدت جریان بیشتری است. از آنجا که رویکرد مدیریت شهری تهران، خروج آب‌ها از محیط شهری می‌باشد، لذا همواره این انهار دارای آب بوده که به دلیل طی مسافت بسیار دارای رسوبات قابل ملاحظه‌ای می‌باشند. شبکه انهاری که از شبیب بستر بیشتری برخوردار هستند به محض برخورد با جریانات با شبیب کمتر که در شهر تهران عمدتاً انهار افقی می‌باشند به دلیل کاهش شدت جریان، اقدام به نهشته گذاری رسوبات خود می‌نمایند. این مسئله در تقاطع‌های همسطح شکل دیگری به خود می‌گیرد، بدین صورت در محل برخورد جریانات شمالی-جنوبی با جریان‌های شرقی-غربی، ناحیه تداخلی شکل می‌گیرد که سبب کاهش شدت جریان شده، از این رو بخشی از رسوبات به بازوهای شرقی و غربی نهر منتقل شده و به مرور زمان با افزایش ضخامت آن، سبب کاهش ظرفیت این بخش از نهر گردیده و در موقعی که به دلیل بارندگی حجم جریان افزایش می‌باید موجب پس زدگی و جاری شدن جریان آب در تقاطع می‌گردد. از سوی دیگر، در این منطقه تداخل تنها رسوبات نیستند که جابجا شده، بلکه زباله‌هایی که در انهار شهر تهران بسیار هستند از جمله قوطی‌های پلاستیکی و ... به بازوهای غربی و شرقی منتقل شده و تجمع آن‌ها نیز از دیگر عوامل آب‌گرفتگی در این منطقه از شبکه انهار می‌گردد. بررسی میدانی نشان داد که علاوه بر تقاطع‌ها، المان‌های شهری نصب گردیده بر روی نهر ولیعصر مانند پل‌ها و ایستگاه‌های اتوبوس، به دلیل محدود نمودن فضای حرکت جریان آب و جمع شدن رسوبات، سبب گیر کردن زباله و ایجاد آب‌گرفتگی می‌باشند. در شکل ۱، چهارراه لشکر، یکی از تقاطع‌های پرازدحام منطقه ۱۱ مشاهده می‌گردد که پهنه‌های بحرانی در موقع آب‌گرفتگی بر روی آن با مستطیل قرمز نشان داده شده است.



شکل ۱- چهار راه لشکر بر روی تصویر ماهواره‌ای Quickbird، بازوی شمالی و جنوبی این تقاطع خیابان کارگر جنوبی می‌باشد که یک خیابان شریانی درجه یک است. خیابان کارگر جنوبی نقش مهمی در انتقال سفرهای عبوری از منطقه دارد، مستطیل‌های قرمز نشان‌دهنده سطوحی است که در موقع آب‌گرفتگی دچار مشکل می‌گردد.

همچنین بررسی نقاط آبگیر و بحران ساز در منطقه ۱۱ نشان داد که تمامی میدان‌های منطقه که با مورفولوژی میدان شناخته می‌شوند دچار بحران آب‌گرفتگی می‌باشند. از آنجا که هندسه انهر در میدان تغییر می‌کند، مکان مناسبی را جهت گیر کردن زباله فراهم می‌سازد که این امر موجب آب‌گرفتگی آن‌ها می‌گردد. این میدان‌ها شامل میدان پاستور میدان حر، میدان قزوین، میدان رازی، میدان راه آهن و میدان منیریه می‌باشد.

۴- نتیجه گیری

یکی از عوامل مهم تأثیرگذار بر مدیریت محیط زیست شهری، مدیریت روان آب‌های شهری است. جاری شدن آب بر سطح خیابان، علاوه بر اثرات زیست محیطی فراوان، باعث افزایش تصادفات و کاهش اینمی عابرین پیاده می‌گردد. از این‌رو، به منظور بررسی علل آب‌گرفتگی معابر و بدست آوردن الگوی آن، منطقه ۱۱ تهران جهت مطالعه انتخاب گردید. مطالعه بیش از ۳۰ نقطه آبگیر در سطح منطقه ۱۱ نشان داد که اکثر نقاط آبگیر و بحران ساز در تقاطع‌ها و میدان‌های می‌باشد. بررسی‌های میدانی از این نقاط بیانگر الگوی خاصی از رسوب گذاری در محل تقاطع انهر شمالي-جنوبی با انهر شرقی-غربی بود که با توجه به اجرای طرح همسطح سازی تقاطع‌های غیر همسطح در سطح منطقه ۱۱ به نظر می‌رسد که الگوی هیدرولوژیکی خاصی در این منطقه تداخل موجود می‌باشد که سبب رسوب گذاری بیشتر نسبت به سایر نقاط انهر باشد که با کاهش ظرفیت حجم جریان و گیر کردن زباله از مهم‌ترین دلایل ایجاد نقطه آبگیر باشد. از آنجا که مهم‌ترین علت آب‌گرفتگی نیز عدم کشش انهر در موقع بارندگی می‌باشد که ناشی از عدم مهار جریان‌های سطحی در مناطق بالادست شهری به خصوص حوضه‌های کوهستانی شمال تهران دارد (مقیمی و صفاری، ۱۳۸۹)، (جابری، ۱۳۸۹)، پیشنهاد می‌گردد با توجه به هزینه بسیار لاپرواژی انهر و آلوده بودن این گل و لای‌ها به انواع مواد سمی مهلك، برنامه جامعی نسبت به کنترل و پایش رسوبات در شهر تهران، به خصوص در پرروژه‌های عمرانی انجام پذیرد. همچنین پیشنهاد می‌گردد که لاپرواژی انهر در تقاطع‌ها نسبت به سایر بخش‌های نهر در برنامه منسجم‌تری قرار گیرد.

منابع و مأخذ

- جابری، مريم و ماهرخ سردشتی، ۱۳۸۹، بررسی نقش لندرم‌ها در مدیریت سیلاب‌های شهری (مطالعه موردی شهر تهران)، اولین همایش مدیریت سیلاب‌های شهری. دانشگاه تربیت مدرس، ص ۶۴
- مقیمی، ابراهیم و امیر صفاری، ۱۳۸۹، ارزیابی ژئومورفولوژیکی توسعه شهری در قلمروی حوضه‌های زهکشی سطحی مطالعه موردی: کلان شهر تهران، برنامه ریزی و آمایش فضا (مدرس علوم انسانی)، شماره ۱۴، ص ۳۱.

Despotovic.J, Plavsic.J and Jacimovic.m, ۲۰۰۸, Surface runoff and safety factors for the vehicle and pedestrian street traffic, 11th International Conference on Urban Drainage, Edinburgh, Scotland, UK.

تراس‌های رودخانه‌ای شاهدی بر تغییرات اقلیمی در هولوسن

(مطالعه موردی رودخانه قزل اوزن در محدوده استان کردستان)

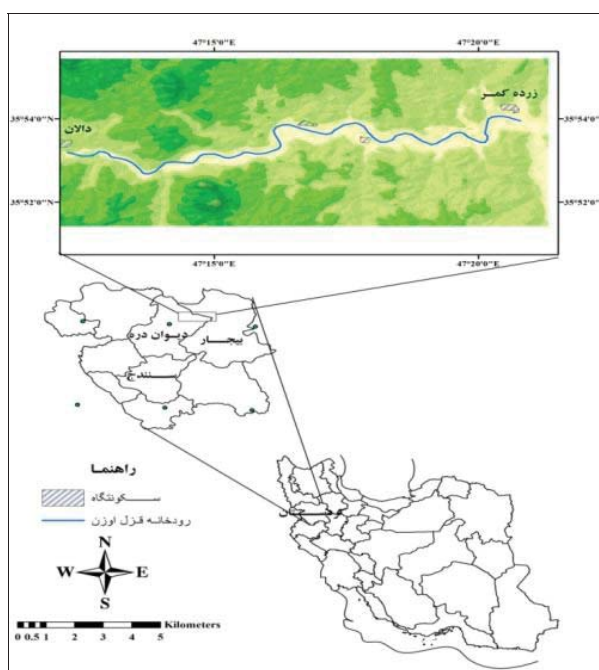
موسی عابدینی، ^۱امید رحیمی^۱دانشیار دانشیارگروه جغرافیای طبیعی (ژئومورفولوژی)، دانشکده علوم انسانی دانشگاه اردبیلی.

۲ دانشجوی دکتری جغرافیای طبیعی (ژئومورفولوژی)، دانشکده علوم انسانی دانشگاه اردبیلی.

مقدمه و منطقه مورد مطالعه

توالی پادگانهای رودخانه‌ای طولانی مدت اخیراً مورد مطالعه قرار گرفته‌اند و در قسمت‌های مختلف جهان به عنوان رکوردها و شاخص‌های زمینی تغییرات آب و هوایی کواترنری و نسبت به بالا آمدگی منطقه‌ای بایگانی شده‌اند [۱-۳-۴-۵]. این مطالعات به طور واضح نشان داده‌اند که تشکیلات پادگانه‌ها به شرایط آب و هوایی و همچنین بالا آمدگی منطقه‌ای مناسب نیاز دارند [۲-۵]. در بعضی مطالعات بر روی تاثیر آب و هوای روی سیستم‌های رودخانه‌ای پیشنهاد شده است که بین تولید پادگانه‌ها و انحراف سیکل‌های آب و هوایی ۴۱ هزار سال قبل در اوایل پلیستوسن و همچنین خروج از مرکز سیکل‌های آب و هوایی از اواسط پلیستوسن ۱۰۰ هزار سال قبل ارتباطی قوی وجود داشته است.

تغییرات اندازه‌ی دانه‌های رسوبی در رسوبات محیط‌های آبی به ویژه رودخانه‌ها تغییر در فرایندها و انرژی حمل رسوبات را منعکس می‌نماید. افزایش در اندازه‌های دانه‌های رسوبی در ارتباط با شرایط انرژی بالاتر تولید و حمل این رسوبات می‌باشد. در حالیکه کاهش در اندازه‌ی دانه‌های رسوبات شرایط انرژی کمتر را نشان می‌دهد. تغییرات اندازه‌ی دانه‌های رسوبی در طی زمان مخصوصاً افزایش در میزان ماسه ممکن است در ارتباط با دوره‌های آب و هوای گرم‌تر و مرطوب‌تر باشد و بر عکس کاهش در میزان ماسه ممکن است شرایط آب و هوایی دوره‌های گرم و خشک را منعکس نماید [۶]. کانی‌های رسی به طور گستره‌های بعنوان ساختاری برای بازسازی آب و هوایی در محیط‌های آبی مورد استفاده قرار گرفته‌اند [۷]. رس‌ها یا کانی‌های اولیه‌ای هستند که از سنگ اصلی یا مادر بوسیله‌ی فرسایش و هوازدگی فیزیکی به وجود آمده‌اند یا کانی‌های ثانویه‌ای هستند که به‌وسیله‌ی هوازدگی شیمیایی تولید شده‌اند. در خاک‌ها نوع و ترکیب کانی‌های رسی ثانویه شدت هیدرولیز غالب را در حوضه را نشان می‌دهد. این هوازدگی شیمیایی در ارتباط با ترکیبی از شرایط آب و هوایی (درجه حرارت، میزان بارش)، وضعیت توپوگرافی منطقه، فعالیت‌های تکتونیکی (شرایط حوضه‌ی زهکش) و سنگ مادر می‌باشد [۸-۹].



شکل ۱: موقعیت و منطقه مورد مطالعه

محدوده‌ی مورد مطالعه بخشی از رودخانه‌ی قزل اوزن در محدوده‌ی شهرستان‌های دیواندره و بیجار در استان کردستان واقع در شمال غربی ایران را شامل می‌شود. سرچشمde این رودخانه کوههای چهل چشمde در شهرستان دیواندره می‌باشد که در نهایت به سفیدرود پیوسته و به دریای خزر می‌ریزد(شکل ۱). آب و هوای منطقه عمده‌ی از نوع سرد و نیمه‌خشک بوده که بیشتر بارش‌ها در فصل‌های پاییز، زمستان و بهار رخ می‌دهد.

مواد و روشها

۲-۱- کارهای میدانی و نمونه‌برداری

در منطقه‌ی مورد مطالعه پس از بررسی‌های میدانی در طول ۱۸ کیلومتر از رودخانه تعداد ۹ پادگانه‌ی رودخانه‌ای شناسایی و موقعیت آنها و ارتفاع از سطح دریا و ارتفاع از کف رودخانه با استفاده از دستگاه GPS مارک 550 OREGON تعیین و سپس نقشه‌برداری گردید. سپس به منظور تعیین تغییرات آب و هوایی در طی دوره‌ی هولوسن از پادگانه هشت (T) به موقعیت (T) به موقعیت $35^{\circ}53'25.908''N$ ، $47^{\circ}19'12.54''E$ با ارتفاع ۱۶۸۰ متر از سطح دریا به ضخامت ۲۱۹ سانتی‌متر که جدیدترین تراس شناسایی شده در منطقه‌ی مورد مطالعه می‌باشد تعداد ۱۸ نمونه انتخاب گردید روش تهیه‌ی نمونه‌ها به گونه‌ای بود که در امتداد تراس مطالعه با توجه به تغییرات در رنگ، اندازه‌ی ذرات و رخساره‌ها یک نمونه انتخاب شود (شکل ۲) و مورد آزمایشات رسوب‌شناسی شامل دانه‌بندی و کانی‌شناسی رسی قرار گرفت.



شکل ۲: موقعیت پادگانه هشت(T8) و نمونه‌های برداشت شده جهت آزمایشات رسوب‌شناسی

۲-۲- گرانولومتری دانه‌ها

ابتدا برای برداشت مواد آلی از نمونه‌ها از ۳۰٪ آب اکسیژنه استفاده گردید . به منظور جدا سازی کامل نمونه‌ها از یکدیگر به مدت ۱۰ دقیقه در داخل حمام التراسونیک قرار داده شد. نمونه‌های بالای ۶۳ میکرون با استفاده از الک شیکر با استفاده از سری الکهای استاندارد ASTM به مدت میانگین ۳۰ دقیقه در هفت فراکسیون دو میلی‌متر، یک میلی‌متر، ۵۰۰ میکرون، ۲۵۰ میکرون، ۱۲۵ میکرون و زیر ۶۳ میکرون عملیات دانه‌بندی به روش (فولک و وارد^۲، تاکر^۳، ۱۹۸۸) [۱۰] انجام شد . به منظور تعیین دانه‌بندی مقیاس (فولک و وارد، ۱۹۵۷) [۱۰] مورد استفاده قرار گرفت؛ گرانول < ۲ میلی‌متر، مasse ۰-۶۳ میکرون (۱-۴ فی)، سیلت ۳/۹-۶۳ میکرون (۴ تا ۸ فی)، رس ۳/۹-۱٪ / میکرون (۸ تا ۱۰ فی). جورشده‌گی، میزان پراکندگی اندازه‌ی ذرات در اطراف میانگین، کج شده‌گی، میزان تقارن در پراکندگی اندازه‌ی ذرات و کشیدگی ذرات با استفاده از فرمول آماری (فولک و وارد، ۱۹۵۷) [۱۰] محاسبه گردید.

^۲- Folk & Ward

^۳- Tucker

۲-۳- تعیین کانی‌های رسی XRD

به منظور شناسایی کانی‌های رسی با روش XRD ، با توجه به تفاوت در رنگ ، بافت و اندازه و تغییرات رخساره‌ها در لایه‌های تراس مورد بررسی تعداد ۳ نمونه جهت انجام کانی‌سنگی به ویژه کانی‌سنگی رسی به آزمایشگاه زمین‌شناسی مرکز تبریز انتقال داده شد ابتدا نمونه را به صورت پودر درآورده سپس نوع کانی‌های رسی تعیین گردید.

۶- یافته‌ها و بحث

۱-۳- تغییرات محیطی و آب و هوایی استنباط شده براساس دانه‌بندی و انواع کانی‌های رسی در تراس مورد مطالعه
براساس میزان درصدهای سیلت (کمتر از ۶۳ میکرون) و ماسه (بزرگتر از ۶۳ میکرون)، میزان و سهم دانه‌ها، پارامترهای آماری و فراوانی نسبی انواع کانی‌های رسی در تراس مورد مطالعه تراس را به چهار مرحله A (۱۷۰-۹۳ سانتی‌متری)، B (۹۳-۷۴ سانتی‌متری)، C (۷۴-۱۷۰ سانتی‌متری)، D (۱۷۰-۲۱۹ سانتی‌متری) تقسیم کرده (شکل ۲) و سپس به تجزیه و تحلیل پارامترهای آماری و دانه‌بندی رسوبات به همراه انواع کانی‌های رسی در هر مرحله مورد بحث واقع شده است.

۲-۴- میانگین (Mz)

میزان میانگین‌های لحظه‌ای در ارتباط با داده‌های میانگین ترسیمی برای آنالیز نمونه‌ها دارای ارزش یکسانی می‌باشد [۱۰]. میانگین‌ذرات در رسوبات به نوع منبع رسوب، نوع عامل حمل و شرایط رسوب‌گذاری بستگی دارد. میانگین‌ذرات متوسط دانه‌های رسوبی و شاخص شرایط انرژی را نشان می‌دهد. در طی مرحله A (۱۷۰-۹۳ سانتی‌متری)، میانگین اندازه‌ی ذرات رسوبی بین ۰/۴ - ۰/۲ . فی می‌باشد غلبه‌ی رسوبات درشت دانه را نشان می‌دهد. در طی مرحله B (۹۳-۷۴ سانتی‌متری) میانگین اندازه‌ی ذرات رسوبی بین ۰/۲۸ - ۰/۲ تا ۰/۳۸ فی می‌باشد غلبه‌ی رسوبات رسوبات ریز دانه را نشان می‌دهد. در طی مرحله C (۷۴-۱۷۰ سانتی‌متری)، میانگین اندازه‌ی ذرات رسوبی بین ۰/۰۶ - ۰/۰۲ تا ۰/۱۲ فی می‌باشد. در طی مرحله D (۱۷۰-۲۱۹ سانتی‌متری)، میانگین اندازه‌ی ذرات رسوبی بین ۰/۱ - ۰/۵ فی می‌باشد. این میانگین‌اندازه‌ی ذرات رسوبی رسوبات درشت دانه را نشان می‌دهد. حداقل میزان میانگین اندازه‌ی ذرات در منطقه‌ی مورد مطالعه ۰/۵۲۳ - فی و حداقل میزان آن ۰/۰۴ فی می‌باشد.

۳-۳- جورشده‌گی / انحراف معیار

انحراف معیار میزان جورشده‌گی رسوبات را اندازه‌گیری می‌کند و نوسانات در انرژی جنبشی یا شرایط سرعت عامل رسوب‌گذاری را نشان می‌دهد [۱۱]. همچنین میزان جورشده‌گی رابطه‌ی معکوسی با میزان انحراف معیار دارد. در منطقه‌ی مورد مطالعه حدائق و حداقل میزان انحراف معیار به ترتیب برابر با ۰/۰۶۹ و ۰/۰۷۶ فی می‌باشد. این مقدار جورشده‌گی وقتی با درجات گوناگون جورشده‌گی پیشنهاد شده به وسیله‌ی فولک و وارد و فریدمن [۱۰-۱۲-۱۳] مقایسه شود نشان می‌دهد که این رسوبات دارای درجه‌ی جورشده‌گی بد و جورشده‌گی بسیار خوب می‌باشد.

۴-۳- کشیدگی

میزان کشیدگی یا نوک تیزی منحنی بر اساس مقدار عددی بیان می‌شود و بیان کننده‌ی میزان غیرعادی بودن منحنی توزیع ذرات از توزیع نرمال خواهد بود. بر طبق [۱۲] میزان کشیدگی اندازه‌گیری میزان نوک تیزی منحنی‌ها می‌باشد. و به طور ریاضی کاربرد جورشده‌گی قسمت میانی منحنی با جورشده‌گی دنباله‌ی منحنی مقایسه می‌شود . در رسوبات منطقه‌ی مورد مطالعه حدائق و حدائق میزان کشیدگی برابر با ۰/۰۸۲ فی و حدائق میزان آن برابر با ۰/۱۱۵۸ فی می‌باشد که نشان می‌دهد رسوبات منطقه‌ی مورد مطالعه دارای ماهیتی بسیار کشیده (بسیار نوک تیز) و بسیار پهن می‌باشد.

۵-۳- کج شدگی

کج شدگی میزان تقارن در پراکندگی و توزیع فراوانی اندازه‌ی ذرات می‌باشد و موقعیت میانگین را نسبت به میانه نشان می‌دهد. در یک نمونه از مواد با کمیت کافی از اندازه‌های متفاوت، یک نمونه با کج شدگی درشت‌تر دلالت بر این دارد که سرعت عامل رسوب‌گذاری از مقدار بالاتری از سرعت میانگین برای مدت زمان بیشتر عمل نموده است [۱۱]. در مطالعه‌ی حاضر حدائق و حدائق میزان کج شدگی برابر با ۰/۱۹۵ و ۰/۱۹۶ فی می‌باشد که به ترتیب دلالت بر این دراد که نمونه‌های منطقه‌ی مورد مطالعه غالباً دارای کج شدگی به شدت ریز دانه تا کج شدگی به شدت درشت دانه می‌باشند. این مقدار کج شدگی در منطقه‌ی مورد مطالعه وقتی با درجات گوناگون کج شدگی پیشنهاد شده به وسیله‌ی فولک و وارد و کادیگن [۱۱-۱۵] مقایسه شود نشان می‌دهد که در رسوبات مورد مطالعه کج شدگی مشتب تا کج شدگی منفی غالب می‌باشد.

۶- شناسایی کمی گروههای رسی

گروههای کانی‌های رسی در رسوبات مورد مطالعه را عموماً کانی‌های مونتموریلوئیت، ایلیت و کائولینیت تشکیل می‌دهند. فراوانی انواع کانی‌های رسی در منطقه‌ی مورد مطالعه تقریباً ترکیبی از کائولینیت (عمق ۲۱۹-۱۷۰ سانتی‌متری)، ایلیت (عمق ۷۴-۱ سانتی‌متری) و مونتموریلوئیت (۹۳-۷۴ سانتی‌متری) می‌باشد. کائولینیت به عنوان محصول هوازدگی شیمیایی و در عرض‌های جغرافیایی پایین ملاحظه شده است [۷]. این کانی همچنین به عنوان کانی ثانویه که از دگرگونی سطحی خاک از تعدادی کانی‌های مادر (بعنوان مثال فلدسپار) در طی فرایندهای تشکیل خاک به وجود می‌آید و شدت هوازدگی شیمیایی را مخصوصاً در نواحی مداری و مجاور مداری نواحی گرسیز نشان می‌دهد [۱۴]. کانی ایلیت عموماً در ارتباط با عرض‌های جغرافیایی بالاتر و هوازدگی فیزیکی شناخته شده است. این کانی نمی‌تواند به آسانی در مناطقی با شدت هوازدگی شیمیایی مقاومت نماید و پایدار باشد زیرا به آسانی به وسیله‌ی فرایند هیدرولیز حذف خواهد شد [۱۵].

۷- نتیجه گیری

نتایج حاصل از تحلیل داده‌ها حاکی از غلبه‌ی شرایط پرانرژی رودخانه، وجود جریان‌های با شدت یا سرعت متوسط و ثابت در رابطه با افزایش قدرت جریان‌های ورودی، حاکمیت شرایط انرژی زیاد تولید رسوب یا حمل رسوبات، غلبه‌ی فرایندهای فرسایشی بالا، جورشدنگی به وسیله‌ی عامل‌های قبلی، شدت هوازدگی ضعیف، مخصوصاً شرایط آب و هوایی سرد و معتدل با خشک غالب برای هوازدگی مکانیکی و حداقل فرایند هیدرولیز در مرحله‌ی A و C پادگانه‌ی مورد مطالعه می‌باشد و غلبه‌ی شرایط کم انرژی جریان‌های خیلی ضعیف رودخانه، تغییر وضعیت سرعت رودخانه در طول رسوبگذاری از حالت ملایم به حالت شدید، عدم جورشدنگی به وسیله‌ی عامل‌های قبلی، وجود شرایط آب و هوای گرم و خشک یا معتدل، آبشوئی متوسط، زهکشی خوب منطقه، PH خنثی، کاهش در میزان بارش، وقوع خشکسالی، غلبه‌ی فرایندهای فرایندی کم، نبود عرضه‌ی مواد تخریبی فصلی و غلبه‌ی هوازدگی فیزیکی در مرحله‌ی B پادگانه را نشان می‌دهد. و بالاخره وجود شرایط آب و هوای گرم و مرطوب‌تر، افزایش در بارش‌های بهاری و رطوبت موثر بالا در تمام حوضه‌ی زهکش درجه حرارت‌های گرم به همراه بارش و آبشویی موثر بالا شدت درجه‌ی هوازدگی شیمیایی بالا به همراه شدت هیدرولیز، غلبه‌ی شرایط پرانرژی، غلبه‌ی فرایندهای فرسایشی، عرضه‌ی فصلی مواد تخریبی و فرسایشی، قدرت جریان‌های ورودی در مرحله‌ی D پادگانه را نشان می‌دهد.

۸- مراجع

- [1] Maddy, D., Bridgland, D.R., Westaway, R., 2001. Uplift driven valley incision and climate-controlled river terrace development in the Thames Valley, UK. Quatern. Int. 79, 23–36.
- [2] Antoine, P., Munaut, A.-V., Limondin-Lozouet, N., Ponel, P., Dupéron, J., Dupéron, M., 2003. Response of the Selle River to climatic modifications during the Lateglacial and Early Holocene (Somme Basin—Northern France). Quatern. Sci. Rev. 22, 2076–2061.
- [3] Starkel, L., 2003. Climatically controlled terraces in uplifting mountain areas. Quatern. Sci. Rev. 22, 2189–2198.
- [4] Bridgland, D., Westaway, R., 2008. Climatically controlled river terrace staircases: a worldwide Quaternary phenomenon. Geomorphology 98, 285–315.
- [5] Gibbard, P.L., Lewin, J., 2009. River incision and terrace formation in the Late Cenozoic of Europe. Tectonophysics 474, 41–55.
- [6] Alin, S.R.; Cohen, A.S.; 2003. Lake level history of Lake Tanganyika, East Africa, for the past 2500 years based on ostracode-inferred water-depth reconstruction. Palaeogeography, Palaeoclimatology, palaeoecology. 1-19, 31-49.
- [7] Chamley, H.; 1989. Clay Sedimentology. Springer-verlag, Berlin. 623pp.
- [8] Weaver, C. E., 1989- Clays, muds, and shales: Development in Sedimentology, Elsevier, Scientific Publication, 819 p.
- [9] Velde B (1995) Composition and mineralogy of clay minerals. In: Velde B (eds) Origin and mineralogy of clays: clays and the environment. Springer-Verlag, New York, pp 8–42.
- [10] Folk R. L., Ward M.C., 1957, Brazos River bar (Texas): a study in the significance of grain size parameters, J. Sediment. Petrol., 27 (1), 3–27.
- [11] Sahu B. K., 1964. Depositional mechanism from the size analysis of clastic sediments, J. Sediment. Petrol., 34 (1), 73–83.
- [12] Cadigan, R. A.; 1961. Geological interpretation of grain size distribution measurements of Colorado plateau sedimentary rocks; J. Geol. 69(2) 121–144.
- [13] Friedman, G.M., 1961. Distinction between dune, beach and river sands from their textural characteristics, J. Sediment. Petrol., 31 (4), 514–529.
- [14] Naidu, A.S., Burrell, D.C., and Hood, D.W., 1971. Clay mineral composition and geologic significance of some Beaufort Sea sediments. J. Sediment. Petrol., 41:691–694.
- [15] Biscaye, B.E; 1965. Mineralogy and sedimentation of recent deep sea clay in the Atlantic Ocean and adjacent seas and oceans. Bull. Geol. Soc. Amer ;76, p. 803-832.

بررسی تأثیر خشکسالی بر مولفه‌های هیدروژئولوژیکی چشمه کارستی سبزعلی

مجتبی یمانی^۱، محمود علایی طالقانی^۲، عبدالکریم ویسی^۳، طاهر ولی‌پور^۴

^۱دانشیار ژئومورفولوژی دانشگاه تهران، myamani@ut.ac.ir

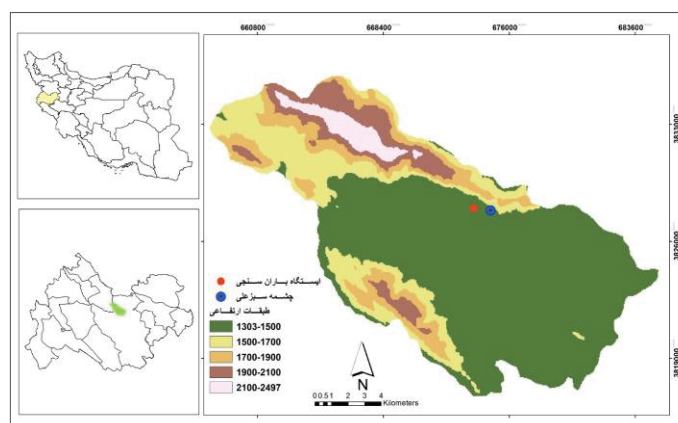
^۲استادیار ژئومورفولوژی، دانشگاه رازی، m.alaei@gmail.com

^۳دانشجوی کارشناسی ارشد ژئومورفولوژی دانشگاه تهران، veysi@ut.ac.ir

^۴دانشجوی کارشناسی ارشد هیدروژئومورفولوژی دانشگاه شهید بهشتی، t.valipour@yahoo.com

مقدمه و منطقه مورد مطالعه

مناطق کارستی از منظره‌های مختلف دارای اهمیت هستند. کارست یک محیط منحصر بفرد، غیرقابل تجدید و دارای ارزش‌های زیستی، هیدرولوژیکی، علمی، فرهنگی، تغزیی، کانی‌شناسی و اقتصادی است (Bakalowicz, 2005, 158). قسمت عمده‌ای از محدوده سیاسی استان کرمانشاه در بخش رورانده و چین‌خورده زاگرس قرار دارد. پیکربندی بخش قابل توجهی از این ارتفاعات از سازندهای سخت (کربناته) تشکیل شده است که تحت فازهای زمین‌ساختی مختلف شکل گرفته‌اند. در این صورت شرایط مناسبی از نظر زمین‌ساختی و سنگ‌شناسی برای توسعه و تکامل فرایند کارست فراهم شده است. پهنه‌های کارستی نقش مهمی در تأمین و تغذیه آبخوان‌های منطقه مطالعه شده بیش از ۵۵۰ سراب و چشمه‌های کارستی یکی از استان‌هایی است که عمده منابع تأمین آب سکونتگاه‌های آن را همین سراب‌ها و آبخوان‌های کارستی تشکیل می‌دهند (ملکی و همکاران، Mudarra, 2011, 273). سفره‌های آب کارست به علت ویژگی‌های هیدرولوژیکی خاص خود متمایز از دیگر سفره‌های آبی می‌باشند (Mudarra, 2011, 262, 1387). دی‌آبخوانهای کارستی در یک سال هیدرولوژیکی، از رژیم آب و هوایی، ویژگی‌های زمین‌شناسی و ویژگی‌های کارست منطقه تاثیر می‌پذیرد (Fiorillo, 2007, 136). نوسانات دی‌آب کارستی در مقابله نوسانات بارشی به ویژگی‌های ژئومورفولوژی پهنه‌های کارستی تغذیه کننده بستگی دارد. حجم خروجی سالانه از چشمه کارستی سبزعلی بیش از ۵۶۰ میلیون متر مکعب در سال است که منبع اصلی تأمین آب شرب و کشاورزی دشت الهیارخانی و روستاهای اطراف خود می‌باشد. شناخت چگونگی تاثیر پذیری این چشمه از وقوع نوسانات بارشی از جمله خشکسالی‌ها از لحاظ بیلان آبی منطقه لازم به نظر می‌رسد که در زمینه مدیریت بهینه منابع آب چشمه اهمیت می‌یابد. هدف از این پژوهش شناخت ارتباط پدیده خشکسالی و نوسانات دی‌آب کارستی سبزعلی و شناخت رفتار این چشمه در زون زاگرس مرتفع با توجه به ژئومورفولوژی کارست منطقه می‌باشد. در زمینه تاثیر نوسانات بارش بر چشمه‌های کارستی در سطح جهان و ایران مطالعاتی انجام پذیرفته که می‌توان به موارد زیر اشاره کرد: کوالوسکی و افرامنسکو (۱۹۹۳)، بونای (۱۹۹۵)، سامانی (۲۰۰۱)، فیوریو (۲۰۰۹)، فوت و همکار (۲۰۱۶)، عابدینی (۱۳۸۹). چشمه کارستی سبزعلی در فاصله ۳۶ کیلومتری شمال غرب شهر کرمانشاه در عرض ۳۴ درجه و ۳۵ دقیقه شمالی و ۵۳ دقیقه طول شرقی واقع شده است. ارتفاع آن از سطح دریا ۱۳۰۷ متر و در دشت الهیارخانی از توابع شهرستان کرمانشاه در دامنه ارتفاعات خورین قرار دارد. شکل (۱) موقعیت چشمه‌ی مورد مطالعه و ایستگاه باران‌سنجی در منطقه نشان می‌دهد.



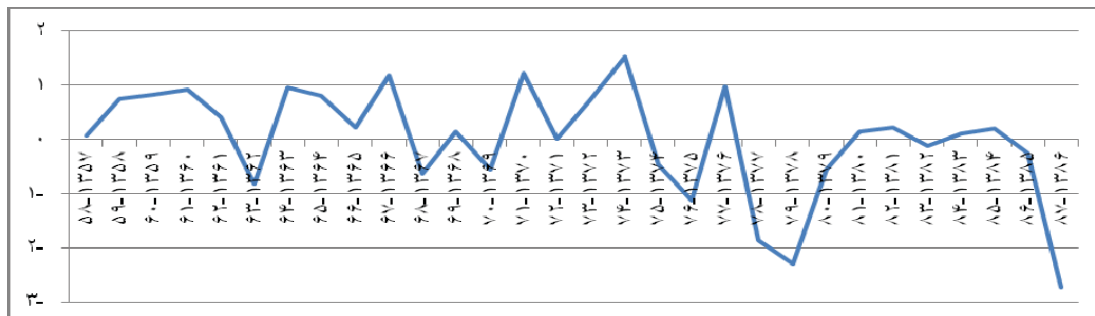
شکل ۱. موقعیت چشمeh و ایستگاه مورد مطالعه در استان کرمانشاه

مواد و روشها

این پژوهش یک تحقیق کاربردی است که مبتنی بر روش‌های کتابخانه‌ای، تحلیل هیدروگراف و هایتوگراف و همچنین تحلیل آماری می‌باشد. با توجه به هدف تحقیق به منظور شناخت واکنش چشمeh کارستی سبزعلی به رخداد خشکسالی از آمار بارش و دبی ایستگاه بارانسنجی چشمeh سبزعلی در دوره ۱۵ ساله استفاده شده است. در ادامه هیدروگراف میانگین ۱۵ ساله چشمeh ترسیم گردید و ضریب تغییرات دبی و دامنه تغییرات آبدی آن محاسبه گردید. در ادامه با استفاده از آمار ایستگاه‌های هواشناسی سال‌های هواشناسی در بازه ۱۵ ساله با استفاده از شاخص بارش استاندارد (SPI) مشخص گردید. در این راستا سال ۱۳۸۶-۱۳۸۷ به عنوان سال خشکسالی حاد انتخاب گردید. در ادامه با استفاده از آمار بارش و دبی هیدروگراف و هایتوگراف ایستگاه چشمeh سبزعلی ترسیم گردید و نوسانات دبی چشمeh مورد مطالعه از رخداد خشکسالی مشخص و در نهایت دوره‌های زمانی واکنش چشمehها به تغییرات بارش مشخص شد. آمار ایستگاه‌های هواشناسی و دبی چشمehها به عنوان داده‌های اصلی تحقیق مورد استفاده قرار گرفتند و از نرم افزار Excel برای پردازش داده‌ها استفاده گردید.

یافته‌ها و بحث

مک کی و همکاران (۱۹۹۳) شاخصی را جهت تعیین خشکسالی پیشنهاد می‌کنند، که از اختلاف بارش و میانگین بارش نسبت به انحراف معیار بارش به دست می‌آید و از آن تحت عنوان بارش استانداردشده (SPI) نام می‌برند. از داده‌های ایستگاه باران سنگی ۲۱-۱۳۳ وزارت نیرو در بازه زمانی ۱۳۵۷ تا ۱۳۸۷ جهت محاسبه شاخص SPI استفاده گردیده است (شکل ۲). پس از بررسی نمودار شاخص SPI، سال ۱۳۸۶-۸۷ با ضریب (۲/۷۲) به عنوان سال خشکسالی حاد انتخاب گردید.



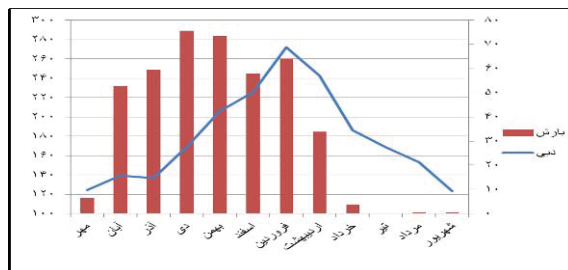
شکل ۲. نمودار شاخص SPI در دور آماری (۱۳۸۷-۱۳۵۷)

تحلیل هیدروگراف و هایتوگراف:

هیدروگراف یک چشمeh از پاسخ آبخوان به نسبت به تغذیه می‌باشد (کریمی و زنجانی؛ ۱۳۸۹، ۲۷۶). تحلیل هیدروگراف و هایتوگراف میانگین ماهانه ۱۵ ساله (شکل ۳) نشان می‌دهد که زمان پرآبی منطبق بر ماههای پربارش اسفند تا اردیبهشت می‌باشد و حدأکثر دبی در فروردین ماه همزمان با بارش‌های سنگین بهاری و ذوب برف‌ها بوده که حاکی از تاثیر پذیری دبی از بارش و ذوب برف می‌باشد. این امر نیز تایید کننده سیستم محراجی و توسعه یافته بودن سیستم کارستی آبخوان‌های کارستی منطقه می‌باشد.

منحنی تاریسمان و ضریب فرود:

تاریسمان به معنای رو به خشکی رفتن جریان آب سطحی یا دبی یک چشمeh است. تاریسمان یا منحنی فرود چشمeh از آبدی حداقل در پایان دوره‌ای تر شروع شده و تا زمان افزایش مجدد آبدی ادامه دارد (کریمی و زنجانی؛ ۱۳۸۹، ۳۷۹). در نواحی غیرکارستی یا کمتر توسعه یافته کارستی، به طور معمول چشمehها منحنی فرودی با روند خطی یکنواخت را نشان می‌دهند، اما در نواحی با توسعه یافته‌گی بالای کارست، چشمehها دارای سه شکست یا ضریب فرود متفاوتند (آگاسی و همکار، ۱۳۸۷، ۵۶).



شکل ۳. هیدروگراف و هایتوگراف میانگین ۱۵ ساله چشمه و ایستگاه

بررسی داده های جدول (۱) نشان می دهد که چشمه مورد مطالعه دارای ۲ و یا ۳ ضریب فرود و مقادیر تندر، متوسط و ملایم می باشند.

جدول ۱. داده های ضرایب α چشمه سبزعلی

مقادیر ضریب α	a_3	a_2	a_1	تعداد ضرایب α	چشمه
ملایم-تندر	-	.۰۲۸	.۰۴	دو	سبزعلی

حجم ذخیره دینامیکی

برای محاسبه حجم ذخیره دینامیکی چشمه از فرمول $V = \alpha * 86400$ محاسبه می گردد. در این فرمول V حجم ذخیره دینامیکی یک مخزن در فرود یا شکست آبنمود مورد نظر، α دبی اولیه بر روی منحنی تاریسمان می باشد. در یک آبخوان کارستی، حجم آب موجود بطور پیوسته و بطور زمانی و مکانی تغییر می کند.

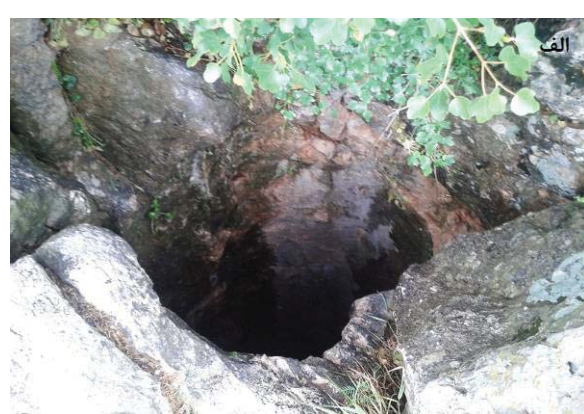
جدول (۲) داده های حجم ذخیره دینامیکی چشمه های مورد مطالعه

مجموع V	V_3	V_2	V_1	چشمه
۱۱۶۳۶۲۲	-	۵۷۳۹۴۲	۵۸۹۶۸۰	سبزعلی

داده های جدول (۲) نشان می دهد که حجم ذخیره دینامیکی چشمه سبزعلی کم می باشد. این امر نشان دهنده توسعه یافته ای آبخوان های کارستی منطقه مورد مطالعه به صورت مجرایا و غارهای توسعه یافته است و تخلیه آب از چشمه ها در زمان کمتری نسبت به چشمه های مناطق فاقد اشکال توسعه یافته کارستی صورت می پذیرد (شکل ۴ و ۵). در واقع چشمه های زاگرس شکسته به علت تحول کارست بیشتر ذخیره دینامیکی کمتری دارند و در مقابل رخداد خشکسالی آسیب پذیری بالاتری را نشان می دهند.



شکل ۴. سیستم درزه و شکاف در آبخوان های منطقه



شکل ۳. شافت عمودی در ارتفاعات خورین

ضريب خشكيدگي

با فرض قطع منابع تغذيه پس از به اوج رسیدن دبی يك چشمeh و با فرض آنکه اين ميزان آبدh به طور ثابت از چشمeh خارج گردد مدت زمان خاصi طول می کشد که از آن تحت عنوان ضريب خشكidگi نام برده می شود (صفri؛ ۱۳۸۷، ۲۳). مقایسه ضريب خشكidگi نشان می دهد که چشمeh سبزعلی دارای ضريب بسيار بالاي می باشد و بسيار سريع نسبت به خشكasali واكنش نشان می دهد. از اين رو اين شواهد حاکi از ميزان توسعه يافتگi کارست بيشتر منطقه است و بسيار سريعتر نسبت به خشكasali واكنش می دهند.

ضريب تغييرات دبی

ضرiped تغييرات دبی با استفاده از فورمول QVC=Qmax-Qmin/Qmen*100 محاسبه می گردد. جدول (۵) ميزان ضريب تغييرات دبی چشمeh سبزعلی را مطالعه را نشان می دهد. ميزان ضريب تغييرات چشمeh سبزعلی با ۱۱۸/۵٪ می باشد. ضريب تغييرات يك پaramتر وابسته به توسعه کارست می باشد بدین معنا که هر چه کارست تحول يافته تر باشد، ميزان دبی آن همزمان با بارش افزایش شدیدi پیدا می کند و با قطع بارش دبی آن به سرعت کاهش می يابد. چشمeh سبزعلی در ۵ ماه که دبی آن بيش از ميانگin می باشد ۶۵٪ از مجموع دبی سالانه را در اين ماهها دارند. در ضريب تغييرات زياد چشمeh سبزعلی نشان دهنده تحول کارست منطقه مورد مطالعه و حساسیت اين چشمeh در مقابل نوسانات بارش می باشد.

جدول (۵) داده‌های ضريب خشكidگi و ضريب تغييرات چشمeh‌های مورد مطالعه

سبزعلی	چشمeh
۶۹	ضرiped خشكidگi
٪ ۱۱۸/۵	ضرiped تغييرات

۴-نتيجه گيري:

آبخوان‌های کارستی تحت تاثير ميزان تحول يافتگi کارست و ويژگi‌های ژئومورفولوژیکi پهنه‌های کارستی تغذيه کننده آنها به شدت ناهemگn هستند و واكنش‌های متفاوتi نسبت به تغييرات بارش نشان می دهند. با استفاده از معيارهای هيdroژئولوژیکi به عنوان يك روش کارآمد و سريع می توان علت واكنش‌های متفاوت چشمeh‌های کارستی را نسبت به بارش تفسير کرد. چشمeh سبزعلی در برابر خشكasali های شدید کوتاه مدت یا يکساله بسيار حساس بوده و دليل آن به ويژگi‌های ژئومورفولوژی کارست منطقه و سیستم کارستی آبخوان‌های منطقه برمی‌گردد. آبخوان‌های کارستی تغذيه کننده چشمeh تحت تاثير ميزان توسعه يافتگi کارست و ويژگi‌های ژئومورفولوژیکi پهنه‌های کارستی تغذيه کننده آن به شدت ناهemگn است و واكنش سريع نسبت به تغييرات بارش نشان می دهد. بر اساس نتایج بدست آمده از پaramترهای ژئohydroلوژیکi، چشمeh سبزعلی دارای دو ضريب فروض متوسط و تند بوده، حجم ذخیره ديناميکi کم و زمان مرگ کوتاه می باشد که نشانگر توسعه سیستم کارستی و غلبه جريان مجرایi در چشمeh سبزعلی می باشد. بنابراین با توجه به مقادير به دست آمده از پaramترهای هيdroلوژیکi، توسعه يافته بودن ژئومورفولوژی کارست منطقه عامل اصلی واكنش سريع چشمeh نسبت به رخداد خشكasali و در نتيجه کاهش سطح تالاب در زمان کوتاه پس از وقوع خشكasali می باشد.

مراجع:

۱. كريمي ورنجانی، حسین؛ (۱۳۸۹) هيdroژئولوژی کارست مفاهيم و روش‌ها، انتشارات ارم شيراز، چاپ اول.
۲. ميلانيچ، پطر؛ (۱۳۸۷)، هيdroژئولوژی کارست، ترجمه (آغاسي و افراسيابيان)، انتشارات طرح تهيه استانداردهای مهندسي آب کشور.
۳. صفری، فرشاد، (۱۳۸۷)، مقایسه توسعه کارستی توده پرآو- بیستون و تقادیس نوا در استان کرمانشاه، پایان نامه در مقاطعه کارشناسی ارشد، دانشگاه تهران، استاد راهنمای دکتر جعفر بیگلو، منصور، بهمن ۱۳۸۷.
۴. فقط، مسعود؛ مهراei، على؛ (۱۳۸۶)، بررسی واكنش چشمeh کارستی نيلوفر نسبت به خشكasali های اخير استان کرمانشاه، کنفرانس منابع آب استان کرمانشاه، ۱۳۸۶ آذر ۲۵.
۵. عابدیني، محمدحسين؛ (۱۳۸۹) ارتباط خشكasali و منابع آب کارستي (مطالعه موردي : حوضه کارستي مهارلو)، پایان نامه کارشناسی ارشد دانشکده جغرافيا، دانشگاه تهران.
۶. ملکi، امجد. د، شوهانی، م. عالي طلاقاني (۱۳۸۷)، پهنه‌بندi تحول کارست در استان کرمانشاه، فصلنامه مدرس علوم انساني، دوره ۱۳۵، شماره ۱ (پيادي)، ۲۷۱- ۲۵۹.

7. Bakalowicz, M. 2005. Karst groundwater: A challenge for new resources. *Hydrogeol* 13:148–160.